

A Fertő tó kovamoszat viránya 1912. évben.

Közli Dr. Pantoesek József, a pozsonyi m. kir. állami kórház igazgató-orvosa.

4 táblával és 200 górcsövi rajzzal.

Az egysejtű lények legszebbjei a kovamoszatok lévéni, ne csodálkozzunk, hogy a természet eme remekeinek páncélhéjainak művészies és elragadó szépségű rajza, nemkülönben az élő héjak sajátságos mozgása ugyszólva a górcső feltalálásával nemcsak a tudósokat, de a müvelt világ mükedvelőinek nagy számát, nemcsak hogy lekötötte és meghódította, de azokat ezen parányi lények rendszeres tanulmányozására, azoknak leírására serkentette. Ehrenbergnek már a mult század első negyedében a berlini akadémiában közzétett alapvető dolgozatai megjelenésével a kovamoszatokra vonatkozó dolgozatok száma évről-évre oly rohamosan nőtt, hogy ezek literaturája egymaga a mai napon valóban egy tekintélyes könyvtárt alkot. Ez nem is lehet máskép, mert minden müvelt nemzet és ország azon volt, hogy kovamoszatjait írásban és rajzban ismertesse. Sajnos, épen hazánk az, mely természeti kincsekben és természetrájzi különlegességekben oly felette gazdag volta dacára ugyszólva az egyedüli, melyben a kovamoszatokra vonatkozó studiumot a mult század 60-as éveitől kezdve egy Neupauer, Wiesinger, Bothár és Hazslinszky n kivül senki sem tartotta méltónak a megfigyelésre. Neupauer, Wiesinger két eredeti közleménnyel gazdagították hazánk irodalmát, mig Bothárt csak mint algagyűjtőt, Hazslinszkyt pedig mint compilatorikus algaleirót ismerjük. Némi lendületet e téren csak a mult század 80- és 90-es éveiben észlelünk, Kanitz Ákos, Scharschmid, Istvánffy, Quint, Moesz, Filarszky és csekélységem eredeti munkálatainak megjelenésével.

Ezen hátramaradásunk serkentett engem arra, hogy hazánk legsajátságosabb tavának kovamoszat életével tüzetesebben foglalkozzam s erre vonatkozó 16 éves észleléseimet leirva, évkönyvünkben publikáljam.

Eleve ki kell emelniem, hogy a Fertő kovamoszat virányainak első ismertetője Grunow Albert berndorfi vegyész, világtekintélyü algologus. Ezen buvár már a mult század 50-es éveiben gyűjtött a Fertő körül és felfedezéseit a bécsi k. k. zoolog. botan. Gesellschaft évkönyveiben 1860, 1862 és 1863-ban publikálta. Dolgozataiban a következő fertői moszatokat sorolja fel: *Navicula staurophora*, *Nav. elegans*, W. Sm., *Nav. amphibiaena* Kg., *Nav. tumida* W. Sm. α) lanceolata, β) subsalsa, *Nav. carassius* E., *Nav. mutica* Kg., *Nav. hungarica* Gr., *Nav. rostrata* E., *Nav. pannonica* Gr., *Nav. Peisonis* Grun., *Nav. levissima* Kg., *Nav. rostellum* W. Sm., *Nav. appendiculata* Kg. β) *exilis*, *Scoliopleura Peisonis* Gr., *Pleurosigma acuminatum* Kg. (Grun.), *Pleurosigma Peisonis* Grun., *Amphiprora Pokorniana* Grun., *Epithemia turgida* (E.) Kg., *Epithemia Westermani* Kg., *Epith. Vertagus* Kg., *Epith. sorex* Kg., *Epith. gibberula* Kg., *Diatoma vulgare* Bory, *Synedra fasciculata* Kg., *Synedra Vaucheriae* Kg., *Synedra salina* W. Sm., *Syn. affinis* Kg., *Campylodiscus Clypeus* E., *Campylodiscus bicostatus* W. Sm., α) *genuinus*, β) *parvulus*, γ) *Peisonis*, δ) *quadratus*, *Surirella angusta* Kg., *Sur. craticula* E., *Sur. splendida* Kg., *Sur. gracilis* Grun., *Sur. ovalis* Breb., α) *maxima*, β) *genuina*, γ) *marina* (*Sur. salina* W. Sm.), *Sur. ovata* Kg., *Cymatopleura elliptica* Breb., *Tryblionella Hantzschiana* Grun., *Trybl. angustata* W. Sm., *Nitzschia hungarica* Grun., *Nitzschia sigma* (Kg.) Grun., *Nitz. sigmatella* Greg. β) *minor* Grun., *Nitzschia amphibia* Grun., *Nitzsch. Hantzschiana* Rbh., *Nitz. minuta* Bleisch., *Achnanthidium hungaricum* Grun., *Navicula molaris* Grun., *Nav. Fenzlii* = *Navicula elegans* Grun. non W. Sm. Vagyis összesen 47 fajt és válfajt.

Grunow ezen munkáját felhasználta Hazslinszky Frigyes „Magyarhon és társországi moszatviránya“ című compilatorikus dolgozatában, mely a „Math. és természettud. Közlöny“ V. kötetében jelent meg. Hazslinszky Fr. a 175. lapon mondja: „a *Bacillaria paradoxata* a Fertő tavában találta Grunow“ és a 177. lapon „az *Achnanthes subsessilis*-t a Fertő

tavában" sz. Grun. feljegyzéssel emliti. De Grunow az Achnanthes subsessilist egyáltalában munkájában nem is emliti, a Bacillaria paradoxara vonatkozólag „Die oesterreichischen Diatomaceen. Zweite Folge. Abh. der k. k. zool. bot. Gesellsch. Wien 1862 az 583. oldalon épen az ellenkezőjét állítja, mert közlése a következőképen hangzik: „Im adriatischen Meere habe ich diese nur in Brackwasser häufig vorkommende Art noch nicht auffinden können, auch nicht in schwach salzigem Wasser des Neusiedler Sees". — De az általam a lajstromban mint igazi fertői lakó vétetett fel, mert azt Szabó József soproni lyceumi tanár 1912 május havában a Fertő tó soproni oldalán gyűjtötte és a gyűjtést velem közölte.

Igy egy tulbuzgó compilator valótlanúságai idővel meg erősítést nyertek, mert az Achnanthes subsessilist is magam gyűjtöttem, Nezsider körül az ilmici szikes állóvizekben.

A Schmid-féle Atlas für Diatomaceenkunde című világhírű munkában is találhatók fertői kovamoszatok ábrái. Igy: Rhopalodia parallela (Grun.) O. M., Rhop. gibba (K.) O. M. var. ventricosa (Grun.) O. M., Rhop. musculus (Kg.) O. M. var. mirabilis Fricke; Rhop. gibberula (E.) O. M. var. Van Heurckii O. M. és Scoliopleura Peisonis Grun.

Felsorolásomban csak a saját magam által vizsgáltakat írom le, ezeknek rajzait is közölve. Az általam megállapított fajok száma 149. Ezek között a Carnegie uj nem és a Nitzschia Oestruppii különösen kiemelendők.

A felsorolt fajok legnagyobb száma csak elegyes vizben élő kovamoszat és ezek tanuskodnak arról, hogy ezen saját-ságos vizi medence a pontusi vagy sarmat tenger maradványa.

Viszonyítva más elegyes vizi medencék kovamoszatvirányát a Fertőhez, hason viránynak mondható a Salt lake Utah sóstóé Észak-Amerikában, a mannsfeldi tóé Németországban, továbbá azon ásatag Diatom a telep Csehországban, mely Franzensbad és Eger között terül el. Ezen telep górcsövi vizsgálatát már Ehrenberg „Infusions-tierchen“ 1838 pg. 243 és Mikrogeologie 1854 tab. X. című munkáiban, Grunow pedig 1882-ben „Beiträge zur Kenntnis der fossilen Diatomeen Oesterreich-Ungarns“ pg. 151 közölték.

A Fertő tó hazánk második legnagyobb belvízmédencéje, mely közel az osztrák határhoz, Moson és Sopron vármegyék területén, $34^{\circ} 21' - 34^{\circ} 31'$ é. h. és $47^{\circ} 38' - 47^{\circ} 58'$ é. sz. között terül el vagy 60 ezer kat. holdnyi területen.

A viz állása igen változó, mélysége alig 30—50 cm. Keleti partja sik, számos kisebb-nagyobb, gyakrabban kiszáradó szikes állóvizekkel, melyek közül mint legterjedelmesebbek az Ilmiez körüli Felső és Alsó Stinker tó és a Zick tó említendők meg.

A Fertő vize határozottan sós jellegű, mit nemcsak a kovamoszatok sós élete, de a viznek vegyi elemzése is megérősit.

A viznek vegyi alkatrészei fél literben:

| | |
|--------------------------------|----------------------|
| CaSO_4 | 0,0436—2,5096 |
| SiO_2 | 0,0047—0,0180—0,0684 |
| Na_2SO_4 | 0,7955—5,4609—7,9975 |
| K_2SO_4 | 0,0352—1,2825 |
| MgSO_4 | 0,4341 |
| MgCl_2 | 0,8527—1,6383—2,3304 |
| $\text{NaHC}\ddot{\text{O}}_3$ | 1,4083—1,7323—3,4151 |
| KCl | 0,0152 |
| NaCl | 0,1760—0,5583 |

A talajnak alkatrészei 100 sulyrészben:

| | | |
|------------------|--------------------------|---------|
| Kovasav | SiO_2 | 0,0142 |
| Gypszer | CaSO_4 | 0,2197 |
| Kaliumsulfát | K_2SO_4 | 2,2149 |
| Glaubersó | Na_2SO_4 | 79,9820 |
| Konyhasó | NaCl. | 14,7610 |
| Natriumcarbonat | Na_2CO_3 | 1,4572 |
| Magnesiumchlorid | MgCl | 1,3510 |

A viznek és a talajnak e nagy sótartalma valóban nemcsak florisztikai, de gazdasági szempontból is felette fontosnak mondható. Ezért a fertő parti halophytavirány Középeurópa leggazdagabbika. Hiszen a halophyta virágos növényke közül e vidéken 64 fajt gyűjtöttek. Hogy mennyire fontos mezőgazdasági szempontból a viz és talaj e nagy sótartalma a talaj minősítésére, értékére nézve, azt legjobban illustrálja J. Moser magyaróvári tanár, 1866-ban s k. k.

geolog. Reichsanstalt XVI. kötetében 398—344 oldalon 1866 augusztus 4-én publikált „Der abgetrocknete Boden des Neusiedler Sees” című dolgozata. — Abban az időben, 1865-ben ugyanis napról-napra várták a Fertő teljes kiszáradását. A talaj és a viz roppant nagy sótartalma volt az oka, hogy a tó kiszáradt fenekét, a meddig csak a szem ellát, a sókivirágzások oly mennyiségen borították, hogy az egész vidék hóborította tájképhez hasonlított és a csalódást még fokozták, az ember lába alatt ropogó söréteg és a tócsák felszinén jégtáblák alakjában elterülő sótáblák (pg. 339)!

Ezen irodalmilag és tapasztalatilag biztosított tény bizonyítja, hogy a tó feneke meg a tó körüli terület, ha arról a viz eltávozik vagy eltávolítatik, sohasem lesz hasznavezető terület a mezőgazdaságra nézve, mert az csak halophyta, szikes sivatag lenne akkor is.

Megjegyzem, hogy véleményem szerint a tó magától soha sem fog kiszáradni. Lecsapolása, ha végre is volna hajtható — amit alig hiszek, mert a Fertő medre mélyebben fekszik a Duna medrének — rendkívül költséges, egyes községeket nyomorúságba döntő és a tönk szélére juttató müvelet.

De ezen esztelen spekulációból eredő müvelet a tó körüli összes mező-, kert- és szöllőgazdaságra nézve, kell, hogy katasztrófális befolyással legyen, mert a tó kiszáradásával, kell, hogy a csapadékok oly minimumra redukáltassanak, mely hiányt a gázdák keservesen megsiratnak.

És mert a tónak mesterséges kiszáritását már azon körülmenynél fogva is lehetetlennek tartom, mert azt kétségtelenül fenék alatti vizek táplálják, melyeket megszüntetni képtelenség, hangsúlyozom, hagyják abba a tónak esztelen, költséges lecsapolását, mint a gazdaságra nézve felette káros kísérletet és biztosítuk a Fertő létét, mint Középeurópa egyetlen elegyes vizi medencéjét sajátságos sós állat- és virány értékében, hazánk és a tudomány hasznára.

Minősítse a törvényhozás, ha kell, ezen páratlan sajátságos élettel bíró vizterületet védelmezne, mely eszme, ha megvalósul, csak áldásossá válik ugy a tudomány, mint a gazdaságra nézve. Szolgáljon tehát továbbra is a tó az

eredeti mocsári életnek, védjük ezt a tudomány érdekében és ne engedjük, hogy a Fertő tó páratlan eredeti jellegét — annak kiszáritásával — egy sivár, boldogtalan, szégyenletesen szegény szikes sivatag váltsa fel.

Dolgozatommal nemcsak azon célt akartam elérni, hogy a Fertő tó Bacillaria életét a tudományos világgal megismertessem, de hogy az e fajta kutatást a jövendőbeli nemzedék részére biztositsam. Mert ha tényéné válnék is azon szomoru körülmény, hogy a Fertő tó léte megszünnék, az abban ural-kodó Bacillaria életet az általam készített eredeti praeparatumok és azokról készült pontos feljegyzéseim biztosítják.

Végül köszönetet mondok minden uraknak, kik ebbeli tanulmányaimban a legnagyobb előzékenységgel támogattak. Igy első sorban E. Thum hires mikroszkopai praeparatornak Leipzigen, ki társaságomban 1897 ápril 30-án a Fertő tavat felkereste és tanulmányomat gyönyörűnél-gyönyörűbb készítésével nagyban elősegítette, Dr. Engel József, tb. főorvosnak Nezsiderben, Dr. Schuh Guido körorvosnak Gálossen, Dr. Wosinski József urnak Balfon, Szabó József ev. főgimnáziumi tanárnak, kedves barátomnak Sopronban, ki a moszatgyűjtésben valóban remekelt és kinek számos kovamosztat felfedezését köszönhet a tudomány.

Használt irodalom.

1. Brun. J. Diatomées des Alpes et du Jura et de la region Suisse et Francais de Geneve. Geneve 1880.
2. Cleve P. T. Diatoms of the Arctic Sea (Bih. Till. K. Svensk. Vet. Akad. Handlg. B. 1. Nr. 13. Stockholm 1873.
3. Cleve P. T. Synopsis of the Naviculoid Dia toms I. II. K. Sv. Vet. Akad. Handl. Bd. 26, nr. 2, Bd. 27. Nr. 3. Stockholm 1894/95.
4. Cleve P. T. u. Grunow A. Beiträge zur Kenntnis der arktischen Diatomeen K. Sv. Vet. Akad. Handl. Bd. 17, Nr. 2. Stockholm 1880.
5. Dippel L. Diatomeen der Rhein-Mainebene Braunschweig 1904.
6. Ehrenberg C. G. Die Infusionstierchen als volkommene Organismen. Leipzig 1838.
7. Ehrenberg C. G. Verbreitung und Einfluss des mikroskopischen Lebens in Südamerika. Berlin 1841.
8. Ehrenberg C. G. Mikrogeologie. Leipzig 1854.
9. Ehrenberg C. G. Das unsichtbar wirkende Leben der Nordpolarzone am Land und in den Meeres-Tiefgründen. (Die zweite deutsche Nördpolarfahrt.) Leipzig 1875.
10. Grunow A. Über neue oder ungenügend bekannte Algen. Zoolog. bot. Gesellsch. Bd. 10. Wien 1860.
11. Grunow A. Die österreich. Diatomaceen. I. II. Folge. Ibidem Bd. 12. Wien 1862.
12. Grunow A. Über neue und ungenügend bekannte Arten und Gattungen von Diatomaceen. Ibidem Bd. 13. Wien. 1863.
13. Grunow. A. Algen und Diatomaen aus dem Kaspischen Meere. (Schneider O.: Naturwissensch. Beitr. zur Kenntn. der Kaukasusländer.) Dresden 1878.

14. Beiträge zur Kenntnis der fossilen Diatomeen Osterr. Ungarns. (Beitr. zur Paleontolog. Österr. Ung. u. d. Orients) Bd. II. Wien, 1882.
15. Die Diatomeen von Franz Joseph's Land. Denksch. d. Akad. d. Wissensch. Bd. 48. Wien 1884.
16. Handemann R. S. J. Beiträge zur Kenntnis der Diatomeenflora Österreichs (Jahresber. des Ver. Mus. Francisco Carolinum) Linz 1909.
17. Hazslinszky F. Magyarország és társországai moszatviránya. Mat. és természettud. közlem. V. kötet. Pest, 1867.
18. Heiden H.: Diatomeen des Conventer Sees bei Doberau von der Litorina bis zur Jetztzeit. Mitth. a. d. Gross-Meckl. Geol. Landesanstalt Bd. X. Nr. 21. Rostock 1900.
19. Heiden H.: Die Litorina u. Praelitorinabildungen unter dem Prival bei Travemünde. Mitth. der geogr. Gesellsch. u. des Naturhist. Museums 2. Reihe, Heft 25. Lübeck 1912.
20. Heiden H. Diatomeen aus den postglacialen Ablagerungen des Warnemünder Hafenbaues (Mitth. a. d. gr. Meckl Geolog. Landesanstalt Bd. XIV.) Rostock 1902.
21. Héribaud J. Les Diatomées d'Auvergne Clermont-Ferand 1893.
22. Héribaud J. Les Diatomées fossiles d'Auvergne Clermont-Ferand 1902.
23. Héribaud J. Les Diatomées fossiles d'Auvergne Clermont-Ferand 1903.
24. Héribaud J. Les Diatomées fossiles d'Auvergne Clermont-Ferand 1908.
25. Hustedt Fr. Beiträge zur Algenflore von Bremen (Tümpel) Abh. Nat. Ver. Bremen, Bd. 19, Heft 3. 1908.
26. Hustedt Fr. Beiträge zur Algenflora von Bremen (Torfskanal) II. l. c. Bd. 19. Heft. 4. 1908.
27. Hustedt Fr. Beiträge zur Algenflora von Bremen (Ochtum) l. c. Bd. 20. 1909.
28. Hustedt Fr. Beiträge zur Algenflora von Bremen (Wumme) l. c. Bd. 20. 1911.
29. Istvánffy Gy. A Balaton moszatviránya. A Balaton tudom. tanulmány. eredménye II. k. I. rész. Budapest 1897.
30. Kirchner O. Die Algen Schlesiens. Breslau 1878.

31. Kützing F. T. Die kieselschaligen Bacillarien oder Diatomaceen. Nordhausen 1844.
32. Lagerstedt N. G. W. Sötvattens Diatomacéer från Spetzbergen och Beerens-Eiland, Bih. t. k. Vet. Akad. Handlg. III. u. 15. Stockholm 1875.
33. Meister Fr. Die Kieselalgen der Schweiz. (Beitr. zur kryptog. Flora der Schweiz. Band 10, Heft 4, mit 48 Tafeln). Bern 1912.
34. Mereschkowszky C. Diatomées du Tibet (Poc. Imp. russe de Geographie). Sct. Pétersbourg, 1904.
35. Müller O. Rhopalodia ein neues Genus der Bacillarien. (Engler Bot. Jahrb. Bd. 22.) Leipzig 1895.
36. Müller O. Bacillariales aus den Hochseen des Riesengebirges. Forsch. der biolog. Station zu Plön Th. b. 1898.
37. Müller O. Bacillarien aus dem Nyassalande u. einigen benachbarten Gebieten I. II. III. IV. Folge. Engler Bot. Jahrb. Bd. 34, 36, 45. 1903, 1904, 1905, 1910.
38. Müller O. Bacillarien aus den Natronthalern von El Kab. Hedvigia Band 38. Dresden 1899.
39. Müller O. Bacillariaceen an Süd Patagonien. Englers Bot. Jahrbücher Bd. 43, Heft 4, Leipzig 1909.
40. Oestrup E. Beiträge zur Kenntnis der Diatomeenflora des Kossoolbeckens in der nordwestlichen Mongolei. Hedwigia Bd. 48. Leipzig, 1910.
41. Oestrup E. Danske Diatoméen Kjobenhaven 1910.
42. Pantocsek J. A szlácsi finom andesittuffa Bacillariái. Pozsony, 1903.
43. Pantocsek J. Beiträge zur Kenntnis der fossilen Bacillarien Ungarns. Ed. I. tom. I—III. 1886—1893. Editio II-da. Berlin, 1903.
44. Pantocsek J. A Balaton kovámoszatai vagy Bacillariái. Balaton tud. tanulm. eredménye II. k. 2. rész. Budapest, 1901.
45. Peragallo H. M. Diatomes marines de France et des Districts voisins Grez sur Loing. 1897—1908.
46. Prudent P. Constitution à la Flore Diatomique des Lacs du Jura. (Extrib. d. Annal. d. l. Sec. bot. de Lyon.) I—XII.
47. Rabenhorst L. Die Süßwasserdiatomeen. Leipzig 1853.
48. Schawo M. Beiträge zur Algenflora Bayerns. Bericht des bot. Vereins in Landhut 1895.

49. Schönfeld H. *Diatomaceae Germaniae*. Berlin 1907.
50. Schumann J. *Die Diatomeen der hohen Tátra*. (Verh. der k. k. zoolog. bot. Gesellsch. Bd. 19.) Wien, 1867.
51. Schumann J. *Preussische Diatomeen. Nachtrag I., II., III.* (Schrift. der Phys. oek. Gesellsch.) Königsberg, 1862, 1864, 1867, 1869.
52. Schmidt A. *Atlas der Diatomeenkunde Heft 1—71. Arscherleben*. — Leipzig 1874—1912.
53. Smith W *Synopsis of the British Diatomaceae I. II.* London 1853—1856.
54. Strösse K. *Die Bacillarienlager bei Kliken in Anhalt* (Festschrift der 37. Versammlg. deutsch. Philolog. u. Schulmänn. zu Dessau, 1884.
55. Truan Luard. A. *Ensayo sobre la Synopsis de la Diatomées de Asturia*. (Ann. de la Soc. espag. de Hist. nat. tom. XIII—XIV.) Madrid, 1884—1885.
56. Van Heurck H. *Synopsis des Diatomées de Belgique-Anvers* 1880—1885.
57. Van Heurck H. *Traite des Diatomées-Anvers* 1899.

Leiró rész.

Raphideae.

I. család. *Naviculaceae.*

I. csoport. *Cymbellae.*

I. nem. *Amphora* E. 1831.

1. *Amphora commutata* Grun.

V. H.: Synop. tab. 1. fig. 14; Peragallo: Diat. mar. tab. 50. fig. 21.

Valvis cymbiformibus, 30—66, 5 μ longis, 10 1·8 (10·8) 15 μ latis, arcuatis, ad ventrem leniter inflatis, capitatis, striatis. Striae ad dorsum subradiantes ad raphim percurrentes vitta longitudinali arcuata interruptis, ad ventrem marginales 10—14 in 10 μ .

Sopron Praep. ω ; — Coord. $\frac{2\frac{2}{3}}{3} \frac{2\frac{5}{6}}{1}$

Tab. I. fig. 1—2, $\frac{10}{1}$. fig. 3—4. $\frac{14}{1}$.

2. *Amphora perpusilla* Grun. A. Sch. Atlas tab. 226. fig. 99.

Dippel: Rhein pg. 118 fig. 254.

Longit. 13·2 μ , lat. 4·2 μ ; striae 20 in 10 μ .

Sopron Praep. ω ; — Coord. $\frac{2\frac{2}{3}}{3} \frac{2}{5}$.

Tab. I. fig. 5, $\frac{10}{1}$.

II. nem. *Cymbella* Ag. 1830.

3. *Cymbella aequalis* W. Sm.: Brit. Diat. II. pg. 84. Dippel: Rhein pg. 107 fig. 231.

Longit. 28·4—37·2 μ ; lat. 4·8—8·4 μ ; striae 10—14 in 10 μ .

Nezsider Praep. 10, — Coord. $\frac{2\frac{1}{2}}{2} \frac{8}{3}$.

Tab. I. fig. 6—7, $\frac{10}{1}$.

4. *Cymbella austriaca* Grun.: Pant.: Balat. pg. 18, tab. I, fig. 16.

Long. 33—37·5 μ ; lat. 9—9·6 μ ; striae ad dorsum 8—9, ad ventr. 10 in 10 μ .

Nezsider Praep. 10, — Coord. $\frac{2}{6}:\frac{2}{2}$.

Tab. I. fig. 8, $\frac{1}{1}:\frac{2}{1}$.

5. *Cymbella cistula* (Hemp.) Kirch. — Pant.: Balat. pg. 19, tab. 2, fig. 28.

Long. 58·8 μ , lat. 13·2 μ ; striae 10 in 10 μ .

Nezsider Praep. 10, — Coord. $\frac{2}{9}:\frac{1}{8}$.

Tab. I. fig. 9, $\frac{1}{1}:\frac{0}{0}$.

6. *Cymbella hungarica* (Grun.) Pant. — Balat. pg. 21, tab. 2, fig. 24.

Long. 50·4 μ ; striae ad dorsum 6—8, ad ventrem 8—9 in 10 μ .

Sopron Praep. ω ; — Coord. $\frac{2}{2}:\frac{2}{3}$.

Tab. I. fig. 10, $\frac{1}{1}:\frac{0}{0}$.

7. *Cymbella lanceolata* (E.) Heibg. — Dippel: Rhein, pg. 111, fig. 239.

Long. 64·8 μ ; lat. 12 μ ; striae dorsales 8—10, ventrales 10 in 10 μ .

Nezsider Praep. 10, — Coord. $\frac{2}{1}:\frac{1}{5}$.

Tab. I. fig. 11, $\frac{1}{1}:\frac{0}{0}$.

8. *Cymbella microcephala* Grun. V. H.: Synops. pg. 63, tab. 8, fig. 36—39. Dippel: Rhein pg. 109, fig. 236.

Long. 36—39, 6; lat. 7·2—8·4 μ ; striae 11 in 10 μ .

Nezsider Praep. 10, — Coord. $\frac{2}{8}:\frac{1}{8}$.

Tab. I. fig. 12—13, $\frac{1}{1}:\frac{0}{0}$.

III. nem. *Stauroneis* E. 1843.

9. *Stauroneis amphicephala* Kg.

Long. 51 μ ; lat. 12; striae 18 in 10 μ .

Nezsider Praep. I. ω ; — Coord. $\frac{2}{4}:\frac{2}{3}$.

Tab. I. fig. 14, $\frac{6}{1}:\frac{0}{0}$.

10. *Stauroneis obtusa* Lagerst. Spitzb. pg. 36, tab. 1, fig. 11; Cleve Synops I. pg. 149.

Long. 84·8 μ , lat. 16 μ ; striae 11—12 in 10 μ .

Nezsider Praep. II₂. — Coord. $\frac{1}{6}:\frac{8}{6}$.

Tab. III. fig. 152, $\frac{5}{6}:\frac{8}{6}$.

11. *Stauroneis emorsa* Pant. nov. spec.

Valvis linearibus ad polos obtusis, ad staurum margine emorsis, transverse striatis, striae 20 in 10 μ , ad nodulum centralem stauro nudo totam valvam percurrente interruptis.

Long. 39 μ , lat. 9 μ .

Nezsider Praep. I. ω ; — Coord. $\frac{17}{7} \cdot \frac{1}{8}$.

Tab. I. fig. 15, $\frac{6}{1} \cdot \frac{0}{0}$.

12. *Stauroneis salina* W. Sm. — Peragallo: Diat. Mar. tab. 7, fig. 21—24.

Long. 45 μ , lat. 10·5 μ , striae transversae 20 in 10 μ .

Nezsider Praep. I. ω , — Coord. $\frac{2}{3} \cdot \frac{1}{1} \cdot \frac{5}{1}$.

Tab. I. fig. 16, $\frac{6}{1} \cdot \frac{0}{0}$.

IV. nem. *Mastogloia* Thw. 1848.

13. *Mastogloia Dansei* (Thw.) W Sm. — Pant. Balaton pg. 29, tab. 3, fig. 47—48.

Long. 28·8—32·4 μ ; lat. 7·2—10·8 μ ; loculamenta 4 in 10 μ ; striae 15 in 10 μ .

Sopron Praep. ω ; Coord. $\frac{2}{2} \cdot \frac{9}{3}$ Nezsider Praep. 10, — Coord $\frac{2}{7} \cdot \frac{4}{5} \cdot \frac{7}{5}$.

Tab. I. fig. 17, 18, $\frac{7}{1} \cdot \frac{0}{0}$.

14. *Mastogloia Grevillei* W Sm. — Pant. Balaton pg. 29, tab. 3, fig. 46.

Long. 46—47 μ ; lat. 11·2—11·5 μ . Loculamenta 6 in 10 μ ; striae 11—12 in 10 μ .

Nezsider Praep. 10, — Coord. $\frac{2}{7} \cdot \frac{1}{2}$.

Tab. I. fig. 19, $\frac{7}{1} \cdot \frac{0}{0}$, fig. 20, $\frac{7}{1} \cdot \frac{0}{0}$.

Var. *subconstricta* Pant. nov. var.

Valvis directis, medio leniter constrictis 48 μ longis, medio 9·6, ad polos subcuneatos 10·6 μ latis, striolatis; striolis 11 in 10 μ arcuato radiantibus, ad polos adscendentibus.

Nezsider Praep. 10, — Coord. $\frac{2}{9} \cdot \frac{2}{1}$.

Tab. I. fig. 21, $\frac{7}{1} \cdot \frac{0}{0}$.

15. *Mastogloia Smithii* Thw. var. *amphicephala* Grun. — Pant.: Balaton pg. 30, tab. 3, fig. 51.

Long. 26·4—41·6 μ ; lat. 4·8—7·2 μ ; loculamenta 5—6 in 10 μ ; striae 14—16 in 10 μ .

Nezsider Praep. 10, — Coord. $\frac{2}{1} \cdot \frac{4}{2}$.

Tab. I. fig. 22, $\frac{7}{1} \cdot \frac{0}{0}$.

Mastogloia Smithii Thw. var. *conifera* Brun. — Peragallo:

Diat. marin. pg. 37, tab. 6, fig. 41.

Long. 22·4 μ ; lat. 9·6 μ ; loculamenta 6—7 in 10 μ ; striae 12—13 in 10 μ .

Nezsider Praep. 10, — Coord. $\frac{24}{1}$.

Tab. I. fig. 23, $\frac{600}{1}$.

16. *Mastogloia angustata* Pant. nov. spec. Syn. *Mastogloia Dansei* var. *limosa* A. S. Atlas tab. 185, fig. 11 sinistra.

Valvis linearibus subrostratis, 43·2—51·2 μ longis, 9·6—11·2 μ latis, loculamentis 6 in 10 μ ; striis transversis parallelis subtiliter punctatis, usque ad raphim percurrentibus 16 in 10 μ ; nodulo centrali rotundato.

Nezsider Praep. F. 10, — Coord. $\frac{20:2}{0:7}$.

Tab. IV. 198—199, $\frac{566}{1}$.

V. nem. *Navicula* Bory 1822.

Pinnulariae.

Majores.

17. *Navicula nobilis* (E) Kg. — Pant.: Balat. pg. 30, tab. 3, fig. 55.

Long. 220·8 μ ; lat. 28·8 μ ; costae 6—7 in 10 μ .

Nezsider Praep. I. α , — Coord. $\frac{21:1}{4}$.

Tab. II. fig. 61, $\frac{566}{1}$.

18. *Navicula viridis* (Nitzsch) Kg. var. *pararelle striata*.
Pant.: Balaton pg. 32, tab. 3, fig. 58a.

Long. 48 μ ; lat. 13·2 μ ; striae 8 in 10 μ .

Nezsider. Praep. 10, — Coord. $\frac{20:2}{1:1}$.

Tab. I. fig. 24, $\frac{700}{1}$.

19. *Navicula commutata* Grun. in A. Schm.: Atlas tab. 45, fig. 35—57.

Long. 49—52 μ ; striae 8 in 10 μ .

Nezsider. Praep. I. ω , — Coord. $\frac{22:8}{6:5}$.

Tab. I. fig. 25, $\frac{600}{1}$.

Minores.

20. *Navicula Brebisonii* Kg. — Pant. Balat. pg. 35, tab. 3, fig. 63.

Long. 38—54·5 μ ; lat. 8·4—12 μ ; striae 10—11 in 10 μ .

Sopron Praep. ω , — Coord. $\frac{24}{6} \cdot \frac{3}{4}$; Nezsider, Praep 10,
— Coord. $\frac{3}{3} \cdot \frac{2}{2}$.

Tab. I. fig. 26, 27, $\frac{7}{1}^{\text{00}}$.

21. *Navicula mesolepta* E. var. *stauroneiformis* Grun. —
Pant.: Balat. pg. 37, tab. 3, fig. 68.

Long. 51·8—53 μ ; lat. 10·8—11 μ ; striae 10 in 10 μ .

Nezsider Praep. 10, — Coord. $\frac{2}{9} \cdot \frac{1}{5}$.

Tab. I. fig. 28, $\frac{7}{1}^{\text{00}}$.

22. *Navicula dicephala* E. Pant.: Balat. pg. 40, tab. 5,
fig. 105a.

Long. 21 μ ; lat. 7·5 μ ; striae 10 in 10 μ .

Nezsider Praep. I. ω , — Coord. $\frac{2}{7} \cdot \frac{0}{0}$.

Tab. I. fig. 32, $\frac{7}{1}^{\text{40}}$.

23. *Navicula capitata* E. — Infuss. pg. 185; — Pant.:
Balaton pg. 39, tab. 3, fig. 74.

Long. 22·5 μ ; lat. 7·5 μ ; striae 6 in 10 μ .

Nezsider Praep. II. f. Sch. — Coord. $\frac{2}{7} \cdot \frac{3}{5}$.

Radiosae.

24. *Navicula oblonga* Kg. — Pant.: Balat. pg. 41, tab. 4,
fig. 76.

Long. 128·4 μ ; lat. 18 μ ; striae medio 6, ad polos 8
in 10 μ .

Sopron Preap. ω , — Coord. $\frac{19}{6} \cdot \frac{9}{9}$.

Tab. I. fig. 33, $\frac{7}{1}^{\text{00}}$.

25. *Navicula vulpina* Kg. Pant. Balat. pg. 42, tab. 4, fig. 83.

Long. 54—60 μ ; lat. 9 μ ; striae 9—13 in 10 μ .

Sopron Praep. ω , — Coord. $\frac{24}{4} \cdot \frac{3}{9}$; Nezsider Praep. 10, —
Coord. $\frac{2}{6} \cdot \frac{2}{4}$.

Tab. I. fig. 34, $\frac{8}{1}^{\text{66}}$.

26. *Navicula subradiosa* Pant. nov. spec.

Valvis elongato lanceolatis 45·6 μ longis, 9·6 μ latis, ad
polos obtusis, striolatis, striis 10—11 in 10 μ ad porum cent-
ralem arcuato radiantibus, polos versus adscendentibus.

Nezsider Praep. 10, — Coord. $\frac{20}{4} \cdot \frac{9}{9}$.

Tab. I. fig. 35, $\frac{6}{1}^{\text{00}}$.

27. *Navicula avenacea* Breb. V. H. Synops. tab. 7, fig. 27
Cleve Synops II. pg. 15.

Long. 54·4 μ ; lat. 9·6 μ ; striae 9—10 in 10 μ .

Nezsider Praep. II. g. S. — Coord. $\frac{18}{7}$.

Tab. III. fig. 156, $\frac{566}{1}$.

28. *Navicula Cari* E. Inf. pg. 174.; M. Geol. tab. 12, fig. 20; V. H. Synops. tab. 7, fig. 11. *Syn. Nav. cincta* E. var. *Cari* Clev. Synops II. pg. 17.

Long. 49·6 μ ; lat. 11·2 μ ; striae 10 in 10 μ .

Nezsider Praep. II₂ — Coord. $\frac{21\cdot9}{6\cdot1}$.

Tab. III. fig. 157, $\frac{566}{1}$.

29. *Navicula appendiculata* (Ag.) Kg. var. *irrorata* Grun.

— Pant.: Balat. pg. 38, tab. 3, fig. 70.

Long. 20—30 μ ; lat. 3·6—5·4 μ ; striae 20 in 10 μ .

Nezsider Praep. 10, — Coord. $\frac{24\cdot2}{9\cdot2}$.

Tab. I. fig. 29, $\frac{700}{1}$.

30. *Navicula medioinflata* Pant. nov. spec.

Valvis linearibus, medio inflatis, 39·6 μ longis, 7·2 μ latis, polos versus obtusis, 4·8 μ . latis, striolatis, striis radiantibus, 20 in 10 μ , ad porum centralem stauro nudo interruptis.

Nezsider Praep. 10, — Coord. $\frac{8\cdot1}{6\cdot7}$.

Tab. I. fig. 30, $\frac{700}{1}$.

31. *Navicula ammophilla* Grun. Var. *degenerans* Grun. foss. Diat. Ö. Ung. pg. 49, tab. 30, fig. 74·75.

Long. 13·2 μ ; lat. 3·6 μ ; striae 8 in 10 μ .

Sopron Praep. XXX. — Coord. $\frac{8\cdot5}{8\cdot5}$.

Tab. I. fig. 31, $\frac{700}{1}$.

32. *Navicula Meisterii*. Pant. nov. spec.

Valvis lanceolatis, 54 μ longis, 3·5 μ latis, ad polos obtusis striolatis, striis radiantibus, 13 in 10 μ ; poro centrali ovali sat dilatato. A *Navicula bottina* Grun. recedit striis ad polos nunquam adscendentibus.

Sopron Praep. I. — Coord. $\frac{24\cdot1}{2\cdot8}$.

Tab. I. fig. 36, $\frac{600}{1}$.

33. *Navicula Kefvingensis* (E.) Kg. A. Schm. Atlas tab. 47, fig. 61—62.

Valvis medio inflatis 58·5 μ longis, medio 10·5 μ latis, ad polos rotundatos 6·9 μ latis, striolatis, striis radiantibus 13 in 10 μ , porus centralis sat dilatatus, suborbicularis.

Nezsider Praep. I. ω , — Coord. $\frac{19}{9} \cdot \frac{4}{1}$.

Tab. I. fig. 37, $\frac{6}{1} \cdot \frac{0}{0}$, tb. IV. 196 $\frac{5}{1} \cdot \frac{6}{6}$.

34. *Navicula slesvicensis* Grun. V. H. Synops. tab. 7, fig.

28, 29. Syn. Nav. viridula var. slesvicensis Cleve Synops II, pg. 15.

Long. $34 \cdot 5 \mu$; lat. $10 \cdot 5 \mu$; striae 10 in 10μ .

Nezsider Praep. I. ω , — Coord. $\frac{21}{8} \cdot \frac{2}{6}$.

Tab. I. fig. 38, $\frac{7}{1} \cdot \frac{6}{6}$.

35. *Navicula gracilis* E. — V. H. Synops. tab. 7, fig. 7, 8;

Cleve: Synops. II. pg. 17.

Long. 30μ ; lat. $7 \cdot 2 \mu$; striae 11 in 10μ .

Nezsider Praep. 10, — Coord. $\frac{22}{5} \cdot \frac{8}{3}$.

Tab. I. fig. 39, $\frac{7}{1} \cdot \frac{0}{0}$.

36. *Navicula pumila* Grun. V. H. Synops. tab. 8, fig. 6, 7;

Synon. Nav. cryptocephala var. pumila Cleve: Synops. pag. 14.

Long. 20μ ; lat. 6μ ; striae 14 in 10μ .

Sopron Praep. ω , — Coord. $\frac{16}{7}$.

Tab. I. fig. 40, $\frac{7}{1} \cdot \frac{6}{6}$.

37. *Navicula amphiceros* K. Syn. Nav. rhynchocephala Kg.

var. amphiceros Cleve: Synops. II. pg. 15; V. H.: Synop. tab. 7, fig. 30.

Long. $33-40 \cdot 8 \mu$; lat. $9 \cdot 6 \mu$; striae 11—12 in 10μ .

Sopron Praep. ω , — Coord. $\frac{22}{6} \cdot \frac{2}{4}$.

Tab. I. fig. 41, $\frac{7}{1} \cdot \frac{0}{0}$.

38. *Navicula salinarum* Grun.: Arct. Diat. pag. 33, tab. 2, fig. 34. — Pant.: Balat. pg. 40, tab. 3, fig. 73.

Long. 39μ ; lat. 9μ ; striae 13 in 10μ .

Nezsider Praep. 10, — Coord. $\frac{24}{9} \cdot \frac{1}{1}$.

Tab. I. fig. 42, $\frac{5}{1} \cdot \frac{2}{2}$.

39. *Navicula anglica* Ralfs. var. *subsalsa* Grun. Cleve: Synops II. pg. 22. — Syn. Nav. tumida var. *subsalsa* Grun. Verh. 1860. pg. 537, tab. 4, fig. 43, b) c); Nav. *anglica* var. *subsalina* Grun. V. H.; Synops tab. 8, fig. 31; Perag. Diat. mar. pg. 100, tab. 12, fig. 20.

Long. $23 \cdot 5-26 \mu$; lat. $9-9 \cdot 6$, striae 11 in 10μ .

Nezsider Praep. 10, — Coord. $\frac{20}{4} \cdot \frac{8}{3}$, $\frac{24}{1} \cdot \frac{3}{3}$.

Tab. I. fig. 43, $\frac{7}{1} \cdot \frac{0}{0}$.

Ovales.

40. *Navicula ovalis* (Hilse) A. Schm.: Atlas, tab. 7, fig. 30, 33—36.

Long. 27—39 μ ; lat. 9—17 μ ; striae 10—13 in 10 μ .

Nezsider Praep. I. ω , — Coord. $\frac{2}{6} \frac{3}{6} \frac{2}{2}$.

Tab. I. fig. 44, $\frac{7}{1} \frac{4}{6}$.

Lyratae.

41. *Navicula minutula* W. Sm. Brit. Diat. I. pg. 48, tab. 31, fig. 41. — Synon. *Navicula pygmaea* Kg. Spec. alg. pg. 77; Dippel: Rhein pg. 53, fig. 3, — non (E.) Pant. Balaton pg. 39.

Long. 29·4—35·2 μ ; lat. 7·9—9 μ ; striae 28—29 in 10 μ .

Sopron Praep. V. α , — Coord. $\frac{2}{7} \frac{9}{7} \frac{8}{7}$.

Ocurrit etiam in laco Balaton.

Tab. I. fig. 45, $\frac{5}{1} \frac{6}{6}$.

Assymetricae.

42. *Navicula nezsideriana* Pant. nov. spec.

Valvis ellipticis, 31·5 μ . longis, 9 μ . latis, striolatis, striis 11 in 10 μ ; radiantibus, ad porum centralem unilateraliter punctis duabus majoribus a striis separatis notatis.

Nezsider Praep. I. ω 9, — Coord. $\frac{2}{1} \frac{1}{9} \frac{9}{9}$.

Tab. I. fig. 46, $\frac{7}{1} \frac{4}{6}$.

Formosae.

43. *Navicula permagna* (Bailey) Edw. — Pant.: Balaton pg. 52, tab. 5, fig. 106.

Long. 135—148·8 μ ; lat. 41·6—42 μ ; striae 12—14 in 10 μ .

Sopron Praep. ω , — Coord. $\frac{2}{1} \frac{1}{2} \frac{2}{2}$.

Tab. I. fig. 47, $\frac{6}{1} \frac{0}{0}$.

44. *Navicula Fenzlii* Grun. — Pant.: Balaton pg. 53, tab. 16, fig. 343.

Long. 81—96 μ , lat. 33·6—34·5 μ , striae 10—13 in 10 μ .

Sopron Praep. ω , — Coord. $\frac{1}{7} \frac{7}{7}$.

Tab. I. fig. 48, $\frac{8}{1} \frac{0}{0}$.

45. *Navicula amphibiaena* Bory. — Pant.: Balaton pg. 53, tab. 5, fig. 107.

Long. 75 μ , lat. 27 μ , striae 20 in 10 μ .

Sopron Praep. ε, — Coord. $\frac{15}{8:1}$.

Tab. I. fig. 49, $\frac{74}{1}6$.

Sculptae.

46. *Navicula (Anomoeoneis) sphaerophora* Kg. — Fitzner:
Bau u. Entwicklg. 1871 pg. 77, tab. 3, fig. 10; V. H. Synops.
tab. 12, fig. 2. Cleve Synops. II. pg. 6.

Long. $67:2 \mu$, lat. $19:2 \mu$, striae 18—20 in 10μ .

Sopron Nezsider. Oka, Balf. Praep. II₂ g. S. — Coord. $\frac{21}{8:6}$.

Tab. III. fig. 150, $\frac{56}{1}6$.

47. *Navicula biceps* E. — Schm. Atlas tab. 49, fig. 52. Syn.
Nav. sphaerophora var. minor V. H. Synop. tab. 12, fig. 3. Nav.
sphaerophora var. subcapitata Grun.: Foss. Diat. pg. 157; Nav.
sphaerophora var. biceps Cleve Synops. II. pg. 6; Nav. denu-
data Pant.: Balaton pg. 58, tab. 5, fig. 127.

Long. $36-52:5 \mu$, lat. $10:8-15 \mu$, striae 17—20 in 10μ .

Nezsider Sopron Praep. II₂, g. S. — Coord. $\frac{25}{8:3}$.

Tab. I. fig. 50, $\frac{74}{1}6$; tab. 3, fig. 155 $\frac{56}{1}6$.

48. *Navicula sculpta* E. Pant.: Balaton pg. 56, tab. 5, fig. 118.

Long. $96-98:4 \mu$, lat. $33:6 \mu$, striae 13 in 10μ .

Sopron Praep. XXX. — Coord. $\frac{23}{5:2}4$.

Tab. I. fig. 51, $\frac{79}{1}0$.

Var. *delicata* Perag. — Pant.: Balat. pg. 56, tb. 5, fig. 116.

Long. $70:5 \mu$, lat. 21μ , striae 17—18 in 10μ .

Sopron Praep. ω, — Coord. $\frac{23}{7:1}8$.

Tab. I. fig. 52, 55, $\frac{74}{1}6$.

Var. *protracta* Pant. nov. var.

Valvis elongato lanceolatis, 110μ longis, $38:4 \mu$ latis,
ad polos subcapitatis, obtusis, striis subradiantibus, punctatis 15
in 10μ , ad porum centralem unilateraliter stauro interruptis.

Sopron Praep. XXX. — Coord. $\frac{27}{3:8}1$.

Tab. I. fig. 53, $\frac{79}{1}0$.

Var. *rostrata* Pant. Balaton pg. 57, tab. 5, fig. 117. S.

Long. 120μ , lat. 40μ , striae 10 in 10μ .

Sopron Praep. ω, — Coord. $\frac{22}{7:1}2$.

Tab. I. fig. 54, $\frac{60}{1}0$.

49. *Navicula polygramma* (E.) — Pant.: Balaton pg. 58,
tab. 5, fig. 122. Syn. Stauroneis polygramma E. Amerika pg. 135,

tab. II. VI. Cuba fig. 3. *Navic. fossilis* E. Mikrogeol. tab. X. I., fig. 6.

Valvis elongato ellipticis, cum polis obtusis, per lineas tres longitudinales punctatas, raphem sequentes distinctis.

Long. 81·6 μ , lat. 25·6 μ , striae 8—9 in 10 μ .

Nezsider Praep. I. α — Coord. $\frac{2}{3} \frac{2}{6}$.

Tab. I. fig. 56. $\frac{5}{1} \frac{6}{6}$.

50. *Navicula pannonica* Grun. — Pant.: Balaton pg. 59, tab. 5, fig. 123.

Long. 144 μ ; lat. 32·4 μ ; striae 10 in 10 μ .

Sopron Praep. ω , — Coord. $\frac{2}{5} \frac{0}{3}$.

Tab. I. fig. 57. $\frac{1}{1} \frac{0}{0}$.

Nodosae.

51. *Navicula Silicula* E. — Pant. Balaton, pg. 60 tab. 6, fig. 143, 144.

Long. 46·8—76·8 μ , lat. 9·6—14·4 μ , striae 16—20 in 10 μ .

Nezsider Praep. II. — Coord. $\frac{2}{3} \frac{3}{8}$.

Tab. I. fig. 58. $\frac{1}{1} \frac{0}{0}$; tab. IV. fig. 195, $\frac{5}{1} \frac{6}{6}$.

Var. *diminuta* Pant. nov. var.

Valvis minoribus. Long. 32·4 μ , lat. 7·2 μ , striae 22 in 10 μ .

Nezsider Praep. 10, — Coord. $\frac{2}{5} \frac{1}{1}$.

Tab. I. fig. 59, $\frac{7}{1} \frac{0}{0}$.

52. *Navicula fasciata* Lagerst. — Pant.: Balaton pg. 60, tab. 5, fig. 128.

Long. 26·4—32 μ , lat. 7·2 μ , striae 20—25 in 10 μ .

Nezsider Praep. I. ω , — Coord. $\frac{1}{5} \frac{9}{5}$.

Tab. II. fig. 62. $\frac{7}{1} \frac{0}{0}$.

Var. *inflata* Pant. nov. var.

Valvis medio inflatis 27 μ , longis, 7·5 μ , latis, striatis striis transversis 25 in 10 μ .

Sopron Praep. ε , — Coord. $\frac{1}{4} \frac{4}{9}$.

Tab. II. fig. 63, $\frac{7}{1} \frac{6}{6}$.

53. *Navicula subfasciata* Pant. nov. spec.

Valvis linearibus elongatis, polis rotundatis, 62·4 μ longis, 9·6 μ latis, striolatis, striis transversis, parallelis, 16 in 10 μ , ad porum centralem, stauro 4 μ lato interruptis. Area axialis distincta.

Nezsider Praep. II₂, — Coord. $\frac{2}{3}:\frac{2}{3}$.

Tab. III. fig. 151. $\frac{5}{1}:\frac{6}{6}$.

54. *Navicula fontinalis* Grun. — V. H. Synops tab. 12., fig. 33.

Long. 24—28·8 μ , lat. 4·8—6 μ , striae 20—23 in 10 μ .

Nezsider Praep. 10, — Coord $\frac{2}{3}:\frac{2}{2}$. Sopron Praep. $\frac{1}{1}:\frac{2}{3}$,

Tab. II. fig. 64, $\frac{7}{1}:\frac{0}{0}$.

Cuspidatae.

55. *Navicula cuspidata* Kg. — Pant.: Balaton pg. 62 tab. 6, fig. 130.

Long. 132—156 μ , lat. 36—37·2 μ , striae 11—13 in 10 μ .

Sopron Praep. ω , — Coord. $\frac{1}{6}:\frac{8}{3}$.

Tab. II. fig. 65, $\frac{7}{1}:\frac{0}{0}$.

56. *Navicula ambigua* E. Pant.: Balaton pg. 63, tab. 6, fig. 132.

Long. 80 μ , lat. 24 μ , striae 16 in 10 μ .

Nezsider Sopron Praep. II₂ g. S, — Coord. $\frac{1}{7}:\frac{3}{7}$.

Tab. III. fig. 149, $\frac{5}{1}:\frac{6}{6}$.

57. *Navicula Elsa Thum* Pant. forma *craticularis* Pant.: Balaton, pg. 64, tab. 6, fig. 133.

Long. 82·5 μ , lat. 22·5 μ , loculamenta 2—3 in 10 μ .

Nezsider Praep. I. — Coord $\frac{2}{1}:\frac{2}{3}$.

Tab. II. fig. 66, $\frac{6}{1}:\frac{0}{0}$.

Neidium.

58. *Navicula dubia* E. Amerika pg. 130, tab. II., fig. 2·8; Syn. Nav. peisonis Grun. Verh. 1860, pg. 544, tab. 3, fig. 28; Pant.: Balaton pg. 67, fig. 138.

Long. 52·8 μ , lat. 12·8 μ , striae 18—19 in 10 μ .

Nezsider Sopron Praep. II₂ g. S. — Coord. $\frac{1}{4}:\frac{8}{3}$.

Tab. III. fig. 154, $\frac{5}{1}:\frac{6}{6}$.

59. *Navicula Ferdinandi Koburg* Pant. nov. spec.

Valvis elongatis ad marginem a vitta atra lata, totam valvam margine sequente, strias transversas parallelas interrumpente signatis, ad porum centralem cum maculis duabus sublinearibus atris, notatis.

Long. 46·8 μ , lat. 9·6 μ , striae 25 in 10 μ .

Nezsider Praep. I. — Coord. $\frac{19}{4} \cdot \frac{8}{4}$.

Tab. II. fig. 67, $\frac{7}{1} \cdot \frac{0}{0}$.

60. *Navicula bisulcata* Lagerst. Diat. Spitzb. pg. 31, tab. 1, fig. 8. — Dippel: Rhein pg. 66, fig. 140. — Syn. *Navicula Iridis* E. var. *diminuta*. Pant.: Balaton pg. 64, tab. 6, fig. 137. Long. 40·8—57 μ , — lat. 14·4—15 μ , striae 16—20 in 10 μ . Nezsider Praep. ω , — Coord. $\frac{17}{4} \cdot \frac{9}{9}$.

Tab. II. fig. 68, $\frac{6}{1} \cdot \frac{0}{0}$.

61. *Navicula Kozlowii* Mereschk. var. *elliptica* Meresch. — Diat. du Tibet pg. 5, fig. 5. — Syn. *Scoliopleura balatonis* Pant. Balat. pg. 69, tab. 7, fig. 153, 154.

Long. 39·5—40 μ , lat. 13·2—14·3 μ , striae obliquae 10 in 10 μ .

Balaton Praep. f. g. 2, α — Coord. $\frac{2}{5} \cdot \frac{0}{5}$.

Tab. II. fig. 69, $\frac{7}{1} \cdot \frac{0}{0}$.

VI. nem. *Frustulia* Ag. 1824.

62. *Frustulia vulgaris* Cleve Syn. I. pg. 122, — Syn. *Colletonema vulgare* Thw. V H. Synop. tab. 17, fig. 6.

Long. 40·8 μ , lat. 10·2 μ , striae 30 in 10 μ .

Nezsider Praep. 10, — Coord. $\frac{2}{6} \cdot \frac{1}{1}$.

Tab. II. fig. 71, $\frac{7}{1} \cdot \frac{0}{0}$.

VII. nem. *Schizonema*.

63. *Schizonema nebulosum* Menegh. — V. H.: Synop. tab. 15, fig. 11.

Long. 24 μ , lat. 4·8 μ , striae 20 in 10 μ ;

Nezsider Praep. 10, — Coord. $\frac{24}{2} \cdot \frac{1}{3}$.

Tab. II. fig. 70, $\frac{6}{1} \cdot \frac{3}{7}$.

VIII. nem. *Scoliopleura*. Grun. 1860.

64. *Scoliopleura peisonis* Grun.: Zool. Bot. Ges. 1860, pg. 554, tb. 5, fig. 25; Pant.: Balat. pg. 69, tab. 7, fig. 152.

Long. 46·5—66 μ ; lat. 12—18 μ ; striae 13—15 in 10 μ .

Nezsider Praep. I. ω , — Coord. $\frac{22}{8} \cdot \frac{6}{6}$, Sopron Praep. I. Coord. $\frac{24}{6} \cdot \frac{4}{1}$.

Tab. II. fig. 72, 73 $\frac{6}{1} \cdot \frac{0}{0}$.

Var. *producta* Pant. nov. var.

Valvis linearibus, elongatis, $91\cdot\check{5}$ μ longis, gracilioribus, $16\cdot\check{5}$ μ ; latis, ad polos obtusis, striolatis, striis densioribus 15—16 in $10\ \mu$ transversis, parallelis, ad marginem vitta atra longitudinali interruptis.

Nezsider Praep. ξ , — Coord. $\frac{25\cdot3}{15\cdot8}$.

Tab. II. fig. 74, $\frac{600}{1}$.

IX. nem. *Pleurosigma* W. Sm. 1853.

65. *Pleurosigma Peisonis* Grun. — Pant. Balat. pg. 71 tab. 7, fig. 161.

Long. $93\cdot2\ \mu$; lat. $10\cdot8\ \mu$; striae long. 29 in $10\ \mu$; striae transversae 26 in $10\ \mu$.

Nezsider Sopron Praep. ω , — Coord. $\frac{22\cdot8}{10\cdot5}$.

Tab. II. fig. 75, $\frac{700}{1}$.

66. *Pleurosigma attenuatum* (Kg) W. Sm. — Pant.: Balaton pg. 71, tb. 7, fig. 160. *Frustulia attenuata* Kg.

Long. $304\ \mu$; lat. $28\cdot4\ \mu$; striae longitudinales 6 in $10\ \mu$; striae transversales 11—12 in $10\ \mu$.

Nezsider Praep. I. α , — Coord. $\frac{22}{3}$.

Tab. 2. fig. 60, $\frac{566}{1}$.

67. *Pleurosigma acuminatum* (Kg.) Grun. — Pant. Balat. pg. 70, tb. 7, fig. 159.

Longit. $142\cdot5\ \mu$, lat. $22\cdot5\ \mu$, striae longitudinales et transversales 13 14 in $10\ \mu$.

Nezsider Praep. Sch. II. f. — Coord. $\frac{17\cdot8}{2\cdot5}$.

X. nem. *Amphiprora* E. 1843.

68. *Amphiprora Pokornyanana* Grun. — Verh. 1862, pg. 569, tab. 6, fig. 9.

Long. $69\ \mu$; lat. alae $30\ \mu$; lat. ad constr. $15\ \mu$; striae 20 in $10\ \mu$.

Sopron Schilf. Praep. I. α , — Coord. $\frac{22\cdot6}{8\cdot9}$.

Tab. II. fig. 81, 82, $\frac{600}{1}$.

Gomphonemae.

XI. nem. *Rhoicosphenia* Grun. 1860.

69. *Rhoicosphenia curvata* Grun. Schm. Atlas tab. 213, fig. 1—3; Pant.: Balat. pg. 72, tab. 7, fig. 155.

Long. 27—34 μ ; lat. 6 μ ; striae 14—16 in 10 μ ;
 Nezsider Sopron Praep. ω , — Coord. $\frac{48}{16} \cdot \frac{1}{2}$.
 Tab. II. fig. 76—78, $\frac{100}{1}$.

XII. nem. *Gomphonema* Agardh 1824.

70. *Gomphonema constrictum* E. — Pant.: Balat. pg. 77,
 tab. 7, fig. 178.

Long. 40·8 μ ; lat. 9·6 μ ; striae 4—6 in 10 μ .
 Nezsider Praep. 10, — Coord. $\frac{21}{4} \cdot \frac{1}{6}$.
 Tab. II. fig. 79, $\frac{100}{1}$.

71. *Gomphonema turgidum* E. — Pant. Balat. pg. 76. tab. 7,
 fig. 177.

Long. 36 μ , lat. 13·5 μ , striae 10 in 10 μ .
 Nezsider Praep. II. f. Sch. — Coord. $\frac{25}{7}$.

72. *Gomphonema obtusatum* (Kg.) Grun. — V. H. Synops.
 tab. 24, fig. 43—45.

Long. 40 μ ; lat. 8 μ ; striae 8—9 in 10 μ .
 Nezsider Praep. II₂ g. S. — Coord. $\frac{18}{7} \cdot \frac{2}{1}$.
 Tab. 3. fig. 158, $\frac{566}{1}$.

73. *Gomphonema gracile* E. forma *parva* Grun. V. H. Syn.
 tab. 24, fig. 14.

Long. 33·6 μ ; lat. 7·3 μ ; striae 12 in 10 μ .
 Nezsider Praep. II₂ g. S. — Coord. $\frac{21}{7} \cdot \frac{5}{9}$.
 Tab. 3. fig. 160, $\frac{566}{1}$.

74. *Gomphonema pachycladum* Bréb. — V. H. Syn. tab.
 25, fig. 31 32.

Long. 26·8 μ ; lat. 8 μ ; striae 10 in 10 μ .
 Nezsider Praep. II₂ — Coord. $\frac{21}{4} \cdot \frac{9}{1}$.
 Tab. III. fig. 159, $\frac{566}{1}$.

75. *Gomphonema Peisonis* Pant. nov. spec.

Valvis cuneiformibus 43·2 μ longis, 7·8 μ latis, striolatis;
 striae 10 in 10 μ radiantes; raphe directa, cum nodulo centrali nudo, sat dilatato et unilateraliter poro solitario majori,
 a striis remote sito notato.

Nezsider Praep. I. ω , — Coord. $\frac{19}{4} \cdot \frac{8}{1}$.
 Tab. I. fig. 80, $\frac{100}{1}$.

76. *Gomphonema Vibrio* E. — Amerika pg. 128, tab. II. 1.
 fig. 40. — Pant.: Balaton pg. 75, tab. 7, fig. 163. — Syn.
Comphonema intricatum var. *Vibrio* Cleve Synops. I. pg. 182

Long. 84 μ ; lat. 12·8 μ ; striae 7—9 in 10 μ .

Nezsider Praep. F. 10, — Coord. $\frac{19}{10}:\frac{5}{1}$.

Tab. IV. fig. 197, $\frac{5}{1}66$.

XIII. nem. *Achnanthes* Bory 1822.

77. *Achnanthes subsessilis* Kg. — V. H. Synops. tab. 26, fig. 23; Perag. Diat. mar. pg. 6, tab. 1, fig. 19—21.

Long. 34·5—51 μ ; lat. 12 μ ; striae grosse punctatae 9 in 10 μ .

Sopron Praep. ω , — Coord. $\frac{24}{0}:\frac{5}{5}$.

Tab. II. fig. 87, 88, $\frac{14}{1}6$.

XIV. nem. *Cocconeis* (E.) Grun. 1868.

78. *Cocconeis placentula* E. — Pant. Balat. pg. 82, tab. 7, fig. 180.

Long. 25·5 μ ; lat. 12 μ ; striae 19 in 10 μ .

Sopron Praep. ω , — Coord. $\frac{26}{9}:\frac{2}{8}$.

Tab. II. fig. 85, 86, $\frac{14}{1}6$.

79. *Cocconeis pediculus* E. — Pant.: Balat. pg. 83, tab. 7, fig. 184, 185.

Long. 24 μ ; lat. 16·8 μ ; striae 14 in 10 μ .

Nezsider Praep. 10, — Coord. $\frac{9}{9}:\frac{2}{9}$.

Tab. II. fig. 84, $\frac{7}{1}0$.

80. *Cocconeis nuda* Pant. nov. spec.

Valvis ellipticis parvulis 16·8 μ longis; 12 μ latis, ad marginem corona striolata notatis, caeterum nudis, striolis 25 in 10 μ .

Sopron Praep. ω , — Coord. $\frac{22}{2}:\frac{2}{3}$.

Tab. II. fig. 83, $\frac{7}{1}0$.

Pseudoraphideae.

XV. nem. *Epithemia*. Breb. 1834.

81. *Epithemia Hyndmani* W. Sm. — A. Schm.: Atlas, tab. 249, fig. 1—10. — Pant.: Balaton pg. 84, tab. 8, fig. 186.

Long. 175·5 μ ; lat. 24 μ ; costae 4 in 10 μ ; striae 6—7 in 10 μ .

Sopron Praep. ω , — Coord. $\frac{22}{2}:\frac{3}{3}$.

Tab. II. fig. 89, $\frac{6}{1}0$.

82. *Epithemia Argus* (E.) Kg. — Pant.: Balaton pg. 86, tab. 8, fig. 189, 190, Dippel. Rhein pg. 122, fig. 263; A. Schm.: Atlas tab. 251, fig. I. — 19.

Long. 56—65 μ ; lat. 8·4—10·8 μ ; costae 2—3 in 10 μ ; striae 12—13 in 10 μ ;

Sopron Praep. ω , — Coord. $\frac{27}{8}:\frac{3}{1}$; Nezsider Praep. 10, — Coord. $\frac{2}{6}:\frac{2}{3}$.

Tab. II. fig. 92—93, $\frac{7}{1}:\frac{4}{6}$.

Var. *amphicephala* Grun. V. H. Synop. tab. 31, fig. 19. — Syn. E. Argus var. *capitata* Fricke. — A. Schm.: Atlas tab. 251, fig. 14.

Long. 37·2 μ ; lat. 9·6 μ ; costae 2—3 in 10 μ ; striae 10—11 in 10 μ .

Sopron Praep. ω , — Coord. $\frac{2}{3}:\frac{2}{1}$.

Tab. II. fig. 94, $\frac{7}{1}:\frac{0}{0}$.

Var. *turgida* Pant. nov. var.

Valvis vastis, turgidis, abbreviatis, ad polos obtusis, 32—32·5 μ longis, 9·6—12 μ latis, costatosriolatis; costis validis 2 in 10 μ ; striis punctatis 11—12 in 10 μ .

Nezsider Praep. 10. — Coord. $\frac{2}{4}:\frac{5}{5}$.

Tab. II. fig. 95, $\frac{6}{1}:\frac{3}{7}$.

83. *Epithemia peisonis* Pant.: Balaton pg. 86, tab. 8, fig. 188.

Longit. 92—98 μ ; lat. 9·7 μ , costae 5 in 10 μ striae 8—10 in 10 μ .

Nezsider Praep. 2. — Coord. $\frac{2}{4}:\frac{3}{2}$.

84. *Epithemia Zebra* (E.) Kg.— Peragallo Diat. mar. France. pg. 305, tb. 77, fig. 29—31; Pant.: Balaton pg. 85, tab. 9, fig. 213. A. Schm. Atlas, tab. 252, fig. 1, Dippel. Rhein, pg. 121, fig. 260.

Long. 74—84 μ ; lat. 10·8—12 μ ; costae 2—3 in 10 μ ; striae 11—12 in 10 μ .

Nezsider Praep. 10. — Coord. $\frac{1}{1}:\frac{7}{6}$; Sopron Praep. ω , — Coord. $\frac{2}{8}:\frac{1}{3}$.

Tab. II. fig. 97, $\frac{7}{1}:\frac{0}{0}$.

85. *Epithemia proboscidea* Kg. — Pant. Balaton pg. 85, tab. 8, fig. 191.

Long. 47 μ ; lat. 9 μ ; costae 2—3 in 10 μ ; striae 14 in 10 μ .

Sopron Praep. ω , — Coord. $\frac{2}{4}:\frac{0}{5}$.

Tab. II. fig. 96, $\frac{6}{1}:\frac{0}{0}$.

86. *Epithemia subpanduraeformis* Pant. nov. spec.

Valvis pandurueformae constrictis 81 μ longis, medio 9·6 μ , ad polos rotundatos 27·6 μ latis, costato striolatis, costis 2·5—3 in 10 μ striolis 8—9 in 10 μ .

Nezsider Praep. II. α . g. S. — Coord. 9·5 $\frac{21}{4} \frac{1}{1}$.

Tab. III. fig. 153, $\frac{566}{1}$.

87. *Epithemia crassa* Pant. nov. spec.

Valvis elongatis, arcuatis, crassis, ad polos obtusis, costato striatis; costis 3—4 in 10 μ ; striis subtiliter punctatis 8—9 in 10 μ ; pseudoraphe distincta arcuato adscendens, strias et costas interrumpens.

Sopron Praep. ω , — Coord. $\frac{28}{4} \frac{8}{8}$.

Tab. II. fig. 99, $\frac{700}{1}$.

XVI. nem. *Rhopalodia* O. Müll. 1895.

88. *Rhopalodia ventricosa* (Kg.) O. M. — Pant.: Balat. pg. 89, tab. 8, fig. 193.

Long. 56·4 μ , lat. 8·4 μ ; costae 6 in 10 μ ; striae 13—14 in 10 μ .

Sopron Praep. ω , — Coord. $\frac{27}{7} \frac{8}{2}$.

Tab. II. fig. 100, $\frac{700}{1}$.

89. *Rhopalodia Peisonis* Pant. nov. spec.

Valvis directis ad ventrem planis, dorso maxime inflatis, ad polos leniter inflexis, costato striolatis, 83 μ longis, ad dorsum 27·6 μ ; ad polos 22·5 μ , latis, costis 8—9 in 10 μ ; striis 15 in 10 μ .

Sopron Praep. I. β , — Coord. $\frac{22}{6} \frac{5}{2}$.

Tab. II. fig. 102, $\frac{572}{1}$.

90. *Rhopalodia linearis* Pant. nov. spec.

Valvis directis, ad polos obtusos inflexis, ad ventrem planis, ad dorsum haud arcuatis, costato striolatis, 48 μ longis, 9 μ latis, costis 6 in 10 μ ; striolis 13 in 10 μ .

Nezsider Praep. 10, — Coord. $\frac{21}{1} \frac{8}{3}$.

Tab. II. fig. 98, $\frac{617}{1}$.

91. *Rhopalodia gibba* (E.) O. Müller var. *directa* Pant. nov. var.

Valvis linearibus elongatis directis, ad medium dorsi leniter submorsis, ad polos obtusos leniter inflexis 55·2 μ lon-

gis, 14·4 μ latis, costato striolatis; costis 10 in 10 μ ; striolis 18 in 10 μ .

Nezsider Praep. 10, — Coord. $\frac{24}{7} \frac{8}{6}$.
Tab. II. fig. 101, $\frac{6}{1} \frac{3}{7}$.

92. *Rhopalodia gibberula* (E.) O. Müller: El. Kab. pg. 276.
Epithemia gibberula Kg.: Bac. tab. 30, fig. 3. — Gregory: Diat. Earth of. Mutt. pg. 95, tab. 4, fig. 2. — Pant.: Balaton pg. 87, tab. 8, fig. 199.

Long. 28·8—29·5 μ ; lat. 6·4—11 μ ; costae 3—4 in 10 μ ; striae 12 in 10 μ .

Nezsider Praep. 10, — Coord. $\frac{24}{6} \frac{1}{8}$.
Tab. II. fig. 90, $\frac{6}{1} \frac{3}{7}$.

Var. *Van Heurckii* O. Müll.: El. Kab. pg. 292, tab. 10, fig. 11; A. Schm.: Atlas, tab. 255, fig. 13.

Long. 27·2 μ ; lat. 8·4 μ ; costae 5 in 10 μ ; striae 12 in 10 μ .

Nezsider Praep. 10, — Coord. $\frac{22}{6} \frac{2}{3}$.
Tab. II. fig. 91.

Var. *incisa* Pant. nov. var.

Valvis arcuatis, dorso emorsis, cum polis protractis obtusis, 39·6 μ longis, 8·4 μ latis, costato striatis, costis 4—5 in 10 μ ; striis 11 in 10 μ .

Nezsider Praep. 10, — Coord. $\frac{2}{3} \frac{1}{8}$.
Tab. II. fig. 103, $\frac{7}{1} \frac{9}{0}$.

Fragilariaeae.

XVII. nem. *Synedra* E. 1831.

93. *Synedra salina* W. Sm.: Brit. Diat. I. pg. 71, tab. 11, fig. 88.

Valvis elongatis, angustatis, sublanceolatis, leniter subsigmoideis, 150 μ longis, 4·8 μ latis, ad polos subcapitatis, striatis, striis transversis, parallelis 15 in 10 μ ; medio stauro nudo transverso sat dilatato et pseudoraphe directa interruptis.

Sopron Praep. ω , — Coord. $\frac{28}{5} \frac{3}{8}$.
Tab. II. fig. 105, $\frac{7}{1} \frac{9}{0}$.

94. *Synedra longissima* W. Sm.: Brit. Diat. I. pg. 72, tab. 12, fig. 95; V. H.: Synops. tab. 38, fig. 3.

Long. 204 μ ; lat. 4·8 μ ; striae 10 in 10 μ .

Sopron Praep. XXX. — Coord. $\frac{2}{3} \cdot \frac{2}{1}$.

Tab. II. fig. 104, $\frac{7}{1} \cdot \frac{0}{0}$.

95. *Synedra affinis* Kg. var. *gracilis* Grun. — V. H.:

Synops. tab. 41, fig. 15 b. Perag.: Diat. mar. pg. 320, tab. 80, fig. 23.

Long. 171 μ lat. 4·5 μ ; striae 10 in 10 μ .

Sopron Praep. I. α , — Coord. $\frac{2}{3} \cdot \frac{3}{4}$.

Tab. II. fig. 106, $\frac{6}{1} \cdot \frac{0}{0}$.

96. *Synedra pulchella* Kg.: Bac. pg. 68, tab. 29, fig. 37;

V. H.: Synops. tab. 40, fig. 28, 29; Peragallo: Diat. Mar. pg. 317, tab. 80, fig. 29—33.

Long. 58·8 μ ; lat. 4·8 μ ; striae 11 in 10 μ .

Nezsider Praep. 10, — Coord. $\frac{2}{3} \cdot \frac{2}{9}$.

Tab. II. fig. 109, $\frac{7}{1} \cdot \frac{0}{0}$.

Var. *subcapitata* Pant. nov. var.

Valvis gracilioribus, subcapitatis, 73 μ longis, 48 μ latis striis 14 in 10 μ , medio valvae poro centrali rotundato sat dilatato interrupti.

Nezsider Praep. 10, — Coord. $\frac{2}{3} \cdot \frac{4}{3}$.

Tab. II. fig. 110, $\frac{6}{1} \cdot \frac{3}{7}$.

Var. *capitata* Pant. nov. var.

Valvis elongatis lanceolatis, abbreviatis, capitatis, 44·4 μ longis 6 μ latis, striatis. striis 16 in 10 μ , subtiliter punctatis.

Nezsider Praep. 10, — Coord. $\frac{2}{4} \cdot \frac{1}{6} \cdot \frac{3}{3}$.

Tab. II. fig. 111, $\frac{7}{1} \cdot \frac{0}{0}$.

97. *Synedra Smithii* Ralfs, — Syn. *Synedra pulchella* var. *Smithii* Grun. in V. H.: Synops. tab. 41, fig. 2, Peragallo: Diat. mar. pg. 318, tab. 80, fig. 28.

Long. 112·5—120 μ ; lat. 6—7·5 μ ; striis 16 in 10 μ .

Sopron Praep. I. α , — Coord. $\frac{2}{3} \cdot \frac{4}{3} \cdot \frac{1}{4}$.

Tab. II. fig. 107, 108, $\frac{6}{1} \cdot \frac{0}{0}$.

XVIII. nem. *Fragilaria* Lyngb. 1819.

98. *Fragilaria subsalina* Grun. — V. H. Synops. tab. 44, fig. 5.

Long. 14·4 μ ; lat. 3·6 μ ; striae 10 in 10 μ ;

Nezsider Praep. 10, — Coord. $\frac{2}{3} \cdot \frac{4}{1}$.

Tab. II. fig. 112, $\frac{6}{1} \cdot \frac{3}{7}$.

99. *Fragilaria inflata* Pant.: Balaton pg. 99, tab. 9, fig. 219—221.

Long. 15·6—24 μ ; lat. 4·8 μ ; striae 15—17 in 10 μ .

Sopron Praep. ω , — Coord. $\frac{2}{1}\frac{2}{3}$.

Tab. II. fig. 113. $\frac{7}{1}0$.

100. *Fragilaria rostrata* Pant. nov. spec.

Valvis linearibus rostratis, 35·2 μ longis 3·2 μ latis, ad marginem striatis, striis 10 in 10 μ .

Sopron Praep. ω , — Coord. $\frac{2}{1}\frac{8}{9}$. Nezsider Praep. 10, Coord. $\frac{2}{6}\frac{4}{5}$.

Tab. II. fig. 114, $\frac{7}{1}0$; fig. 115 $\frac{6}{1}8$.

Diatomeae.

XIX. nem. *Diatoma* Dc. 1805.

101. *Diatoma tenue* Ag. — V. H. Synops. tab. 50, fig. 14. Perag.: Diat. mar. pg. 341, tab. 82, fig. 30.

Long. 24 μ lat. 4 μ ; costae 6 in 10 μ ;

Nezsider Praep. 10 F. — Coord. $\frac{2}{3}\frac{0}{6}$.

Tab. II. fig. 116a $\frac{7}{1}0$.

XX. nem. *Nitzschiaeae*.

Tryblionella W. Sm. 1853.

102. *Tryblionella peisonis* Pant. nov. spec.

Valvis productis directis, subellipticis 120—124 μ longis, 20—22·5 μ latis, ad polos inflexis. Poris carinalibus 6—7 in 10 μ ; striis marginalibus 6—7 in 10 μ .

Sopron Nezsider Praep. α — Coord. $\frac{2}{6}\frac{0}{9}$.

Tab. III. fig. 125, $\frac{7}{1}0$.

103. *Tryblionella salinarum* Grun.—V. H. Synops tab. 57, fig. 18.

Long. 25·5 μ ; lat. 7·5 μ ; striae 13—14 in 10 μ .

Sopron Praep. I. α , — Coord. $\frac{2}{5}4$.

Tab. II. fig. 120, $\frac{6}{1}0$.

XXI. nem. *Hantzschia* Grun. 1870.

104. *Hantzschia amphioxys* (E., — W. Sm.) Grun. var. *minor*.

— Perag. Diat. mar. pg. 275, tab. 71, fig. 13.

Long. 38 μ ; lat. 8 μ ; pori carinales 6—7 in 10 μ ; striae 19—20 in 10 μ .

Nezsider Praep. g. S. II. α , — Coord. $\frac{2}{6}\frac{1}{2}$.

Tab. III. fig. 139, $\frac{5}{1}\frac{6}{6}$.

105. *Hantzschia virgata* (Rop.) Grun. — V. H.: Synop. tab. 56, fig. 11—13; — Peragallo Diat. mar. pg. 276, tab. 71, fig. 18; — Pant. Balaton pg. 105, tab. 9, fig. 244.

Long. 126 μ ; lat. 16 μ ; pori carinales 3 in 10 μ ; striae 10 in 10 μ .

Nezsider Praep. I. ω , — Coord. $\frac{1}{7}\frac{7}{6}$.

Tab. III. fig. 126, $\frac{6}{1}\frac{9}{9}$.

XXII. nem. *Grunowia* Rbh.

106. *Grunowia obtusa* (Kg.) Pant. Balaton pg. 108, tab. 17, fig. 371.

Long. 25·2 μ ; lat. 4·8 μ ; pori carinales 6 in 10 μ ; striae 12—15 in 10 μ .

Sopron Nezsider Praep. II. — Coord. $\frac{2}{4}\frac{1}{8}$.

Tab. II. fig. 119, $\frac{7}{1}\frac{9}{9}$; tab. III. fig. 148, $\frac{5}{1}\frac{6}{6}$.

Var. *elongata* Pant. nov. var.

Valvis linearibus elongatis, cum polis productis, 44·8 μ ; longis, 6·4 μ ; latis, costis carinalibus 6 in 10 μ ; striis 12—13. in 10 μ .

Nezsider Praep. II. α , — Coord. $\frac{2}{2}\frac{1}{5}\frac{9}{9}$.

Tab. III. fig. 147, $\frac{5}{1}\frac{6}{6}$.

107. *Grunowia sinuata* (W. S.) Rabh. — Pant. Balaton pg. 108, tab. 17, fig. 348.

Long. 28·8 μ ; lat. 8 μ ; costae 6 in 10 μ ; striae 18 in 10 μ

Nezsider Praep. g. S. II₂. — Coord. $\frac{2}{6}^2$.

Tab. III. fig. 140, $\frac{5}{1}\frac{6}{6}$.

XXIII. nem. *Nitzschia* (Hassal 1854) Grun. 1877.

Apiculatae.

108. *Nitzschia hungarica* Grun. — Pant. Balaton pg. 109, tab. 11, fig. 273. — Meister: Kieselalgen pg. 206, tab. 36, fig. 10.

Long. 60—62·5 μ ; lat. 7·8—8 μ ; pori carinales 10 in 10 μ ; striae 18—20 in 10 μ .

Sopron Praep. ω , — Coord. $\frac{2}{7}\frac{3}{2}$.

Tab. III. fig. 133 $\frac{7}{1}0$.

Dubiae.

109. *Nitzschia dubia* W. Sm. — V. H. Synops. tab. 59, fig. 9—12; Perag.: Diat. mar. tab. 70, fig. 30.

Long. 72μ ; lat. $7\cdot5$ — $9\cdot6 \mu$; pori carinales 4—5 in 10μ ; striae 24—25 in 10μ .

Sopron Praep. ϵ , — Coord. $\frac{1}{5}\frac{3}{8}$; Nezsider Praep. 10, — Coord. $\frac{2}{8}\frac{1}{2}$.

Tab. II. fig. 122, $\frac{7}{1}0$.

110. *Nitzschia commutata*. Grun. — V. H. Synop. tab. 59, fig. 13—14; Perag.: Diat. mar. tab. 70, fig. 31; Dippel: Rhein, pg. 139, fig. 308.

Long. $58\cdot8 \mu$; lat. $7\cdot2 \mu$; pori carinales 10 in 10μ ; striae 20 in 10μ .

Nezsider Praep. 10, — Coord. $\frac{2}{8}\frac{0}{1}$; Sopron Praep. ω , — Coord. $\frac{2}{3}\frac{2}{5}$.

Tab. II. fig. 123, $\frac{7}{1}0$.

Bacillaria.

111. *Nitzschia paradoxa* (Gmel.) Grun. — V. H. Synops. tab. 61, fig. 6. — Perag. Diat. mar. pg. 280, tab. 72, fig. 16.

Long. $88\cdot5 \mu$; lat. $6\cdot7 \mu$; pori carinales 6 in 10μ ; striae 20 in 10μ .

Sopron Praep. I. α , — Coord. $\frac{2}{7}\frac{1}{6}$.

Tab. II. fig. 121, $\frac{6}{1}0$.

112. *Nitzschia socialis* Greg. — Perag.: Diat. mar. pg. 280, tab. 72, fig. 7, 8.

Long. 96μ ; lat. 6μ ; pori carinales 6—7 in 10μ ; striae 25 in 10μ .

Sopron Praep. ω , — Coord. $\frac{2}{2}\frac{1}{3}$.

Tab. III. fig. 130, $\frac{7}{1}0$.

Vivaces.

113. *Nitzschia vivax* W. Sm. Brit. Diat. I. pg. 41, tab. 31, fig. 267. — Cleve Grun. arct. Diat. pg. 86, — V. H. Synops. tab. 62, fig. 1, 2; — Perag.: Diat. mar. pg. 277, tab. 71, fig. 2—7.

Long. 200 μ ; lat. 16 μ ; pori carinales 3·5—4 in 10 μ ; striae punctatae 13 in 10 μ .

Nezsider Praep. g. S. II₂, — Coord. $\frac{2}{8}\frac{9}{5}\frac{8}{5}$.
Tab. III. fig. 137, $\frac{4}{1}\frac{5}{2}$.

Sigmata.

114. *Nitzschia fasciculata* Grun. (Homaeocladia sigmoidea W. Sm.) V. H. Syn. pg. 179, tab. 66, fig. 11—13; — Perag.: Diat. mar. pg. 291, tab. 72, fig. 15.

Long. 54 μ ; lat. 6 μ ; pori 9 in 10 μ .
Nezsider Praep. 10, — Coord. $\frac{2}{5}\frac{4}{5}$.
Tab. II. fig. 124, $\frac{6}{1}\frac{3}{7}$.

Obtusae.

115. *Nitzschia obtusa* W Sm.: Br. Diat. I. pg. 39, tab. 13, fig. 109; V. H. Synop. tab. 67, fig. 1; Perag.: Diat. mar. pg. 288, tab. 73, fig. 30.

Long. 130·5 μ ; lat. 9 μ ; pori carinales 6—7 in 10 μ ; striae 24 in 10 μ .

Sopron Praep. ε — Coord. $\frac{9}{5}\frac{5}{6}$, $\frac{1}{5}\frac{5}{9}\frac{9}{9}$.
Tab. III. fig. 128, $\frac{7}{1}\frac{4}{6}$.

Spectabiles.

116. *Nitzschia spectabilis* (E.) Ralfs. — Pant.: Balaton pg. 112, tab. 10, fig. 258. — Synedra spectabilis Ehrbg. Amer. tab. II. 3, fig. 4.

Long. 333—387 μ ; lat. 13·5—17 μ ; pori carinales 6—8 in 10 μ ; striae 8—10 in 10 μ .

Sopron Praep. ω, — Coord. $\frac{2}{1}\frac{5}{8}\frac{7}{8}$.
Tab. II. fig. 116, $\frac{6}{1}\frac{9}{9}$; tab. III. fig. 185, $\frac{14}{1}\frac{5}{0}$.

Constrictae.

117. *Nitzschia Loczyana* Pant. Balaton pg. 113, tab. 10, fig. 264.

Long. 86 μ ; lat. 9 μ ; pori carinales 6—7 in 10 μ ; striae 13—14 in 10 μ .

Sopron Praep. ε — Coord. $\frac{1}{4}\frac{4}{6}\frac{9}{9}$.
Tab. III. fig. 131, $\frac{7}{1}\frac{4}{6}$.

118. *Nitzschia Meisteri* Pant. nov. spec.

Valvis elongatis, ad polos obtusis, 204·8 μ longis, 20·8 μ latis, transverse striatis, striis 12 in 10 μ ; poris carinalibus magnis, subquadritis, 3—4 in 10 μ ad constrictionem parentibus.

Nezsider Praep. II₂, — Coord. $\frac{19}{4}$.

Tab. III. fig. 146, $\frac{566}{1}$.

119. *Nitzschia Oestrupii* Pant. nov. spec.

Valvis elongatis, 212·8 μ longis, 16 μ latis, transverse striatis et costis subarcuatis, capitatis vestitis, striis 12—13 in 10 μ ; poris carinalibus subquadratis, 4—5 in 10 μ .

Nezsider Praep. II₂, — Coord. $\frac{19}{4} \cdot \frac{9}{7}$.

Tab. III. fig. 145, $\frac{566}{1}$.

Lineares.

120. *Nitzschia Peisonis* Pant. nov. spec.

Valvis linearibus directis, elongatis, 222—243 μ longis 7·5 μ latis, ad polos subcapitatis, obtusis. Pori carinales permagni, 2—3 in 10 μ ; striis transversis 20 in 10 μ .

Sopron Praep. ω , — Coord. $\frac{21}{3} \cdot \frac{8}{8}$.

Tab. II. fig. 118.

Var. *torquata* Pant. nov. var.

Valvis torquatis, ad polos obtusis, 204 μ longis, 7·2 μ latis, poris carinalibus 4 in 10 μ ; striae 25 in 10 μ .

Sopron Praep. I. — Coord. $\frac{22}{6} \cdot \frac{2}{2}$.

Tab. II. fig. 118, $\frac{700}{1}$.

121. *Nitzschia Zahlbrucknerii* Pant. nov. spec.

Valvis linearibus elongatis, directis, ad polos obtusis, modice inflexis, 165·6 μ longis, 5·4 μ latis, carinatis; poris carinalibus 13 in 10 μ ; striis transversis, parallelis, 30 in 10 μ .

Nezsider Praep. 10, — Coord. $\frac{19}{5}$.

Tab. III. fig. 127, $\frac{700}{1}$.

122. *Nitzschia Heufleirana* Grun. var. *elongata* Pant.: Balaton pg. 114, tab. 11, fig. 271.

Long. 144·5, lat. 6 μ ; pori carinales 12 in 10 μ ; striae 25 in 10 μ .

Nezsider Praep. I. ω , — Coord. $\frac{18}{7}$.

Tab. III. fig. 129, $\frac{600}{1}$.

Lanceolatae.

123. *Nitzschia vitrea* Norm. var. *salinarum* Grun. Arct. Diat. pg. 94. — V. H. Synops. pg. 182, tab. 67, fig. 12.

Long. 64—86·4 μ ; lat. 8 μ ; pori carinales 5—7 in 10 μ ; stria 24 in 10 μ .

Nezsider Praep. g. S. II₂ — Coord. $\frac{3}{2} \frac{0}{5}$.

Tab. III. fig. 136—138, $\frac{5}{1} \frac{6}{6}$.

124. *Nitzschia subtilis* (Kg.) Grun. — V. Synops pg. 183, tab. 68, fig. 7, 8. — Perag. Diat. mar. pg. 286, tab. 73, fig. 15.

Long. 67·5 μ ; lat. 7·5 μ ; pori carinales 7—8 in 10 μ ; striae 24 in 10 μ .

Nezsider Praep. II. α , — Coord. $\frac{1}{2} \frac{9}{0}$.

Tab. III. fig. 134, $\frac{6}{0} \frac{0}{0}$.

125. *Nitzschia amphibia* Grun.: Arct. Diat. pg. 98, — V. H.: Synops pg. 184, tab. 68, fig. 15—16.

Long. 30 μ ; lat. 6 μ ; pori carinales 7 in 10 μ ; striae 16 in 10 μ .

Nezsider Praep. I. ω , — Coord. $\frac{2}{3} \frac{2}{4}$.

Tab. III. fig. 132, $\frac{7}{1} \frac{4}{6}$.

126. *Nitzschia fonticola* Grun. — V. H.: Synops. tab. 69, fig. 11—19. — Syn. *Nitzschia Kützingiana* Hilse var. *fonticola* Grun. Arct. Diat. pg. 97.

Long. 19·2 μ ; lat. 3·6 μ ; pori carinales 10 in 10 μ ; striae invisibles.

Nezsider Praep. 10, — Coord. $\frac{2}{1} \frac{1}{0} \frac{8}{5}$.

Tab. III. fig. 135.

XXIV. nem. *Cymatopleura* W. Sm. 1851.

127. *Cymatopleura constricta* Meister: Kieselalgen pg. 219, tab. 39, fig. 5. — Syn.: *Cymatopleura elliptica* var. *constricta* Grun. A. Schm. Atlas tab. 279, fig. 4—7.

Long. 104 μ ; lat. 38·4 μ ; costae 3—4 in 10 μ .

Nezsider Praep. I. α , — Coord. $\frac{2}{1} \frac{2}{0} \frac{3}{0}$.

Tab. IV fig. 189, $\frac{5}{1} \frac{6}{6}$.

Surirelloideae.

XXV. nem. *Surirella* Turpin 1827.

128. *Surirella salina* W. Sm.: Brit. Diat: I. pag. 34, tab. 9, fig. 71; Peragallo Diat. mar. pg. 259, tab. 67, fig. 17—19.

Long. 25. μ ; lat. 7·5 μ ; costis 3 in 10 μ .

Nezsider Praep. I. ω , — Coord. $\frac{2\cdot 3\cdot 2}{6\cdot 7}$.

Tab. III. fig. 162, $\frac{7\cdot 4\cdot 6}{1}$.

Var. *angustata* Pant. nov. var.

Valvis directis, protractis, angustatis, 34·5 μ longis, 4·5 μ latis, costatis, costis marginalibus abbreviatis 4—5 in 10 μ .

Nezsider Praep. I. ω , — Coord. $\frac{4\cdot 7\cdot 1}{7\cdot 1}$.

Tab. III. fig. 164, $\frac{6\cdot 0\cdot 0}{1}$.

Var. *apiculata* Pant. nov. var.

Valvis directis apiculatis, 40·5 μ longis, 7·5 μ latis, apiculatis, costatis, costis abbreviatis marginalibus 5 in 10 μ .

Nezsider Praep. I. ω , — Coord. $\frac{4\cdot 7\cdot 1}{8\cdot 9}$.

Tab. III. fig. 163, $\frac{6\cdot 0\cdot 0}{1}$.

129. *Surirella angusta* Kg. — Meister Diat. Schweiz tab. 41, fig. 8.

Long. 21·6 μ ; lat. 6 μ ; costae 6 in 10 μ .

Nezsider Praep. I₂, — Coord. $\frac{2\cdot 6\cdot 1}{6\cdot 8}$.

Tab. III. fig. 161, $\frac{7\cdot 0\cdot 0}{1}$.

130. *Surirella subovata* Pant. nov. spec.

Valvis parvulis subovatis 32·4 μ longis, 18 μ latis, costato striolatis, costis abbreviatis, 4 in 10 μ ; striis arcuato radiabantibus, 15 in 10 μ ; usque ad pseudoraphem percurrentibus.

Sopron Praep. XXX. — Coord. $\frac{2\cdot 4\cdot 2}{8\cdot 2}$.

Tab. III. fig. 144, $\frac{7\cdot 0\cdot 0}{1}$.

131. *Surirella ovalis* Breb. var. *hungarica* Pant.: Balaton pg. 122, tab. 14, fig. 311.

Long. 45 μ ; lat. 24 μ ; costae 5—6 in 10 μ ; striae 13 in 10 μ .

Nezsider Praep. I. ω , — Coord. $\frac{1\cdot 9\cdot 9}{9\cdot 9}$.

Tab. III. fig. 143, $\frac{6\cdot 0\cdot 0}{1}$.

Var. *maxima* Grun. — Pant.: Balaton pg. 122, tab. 14, fig. 313.

Long. 82—83 μ ; lat. 49—49·2 μ , costae 4—5 in 10 μ , striae 13 in 10 μ .

Nezsider Praep. 4 — Coord. $\frac{2\cdot 5}{3\cdot 5}$.

132. *Surirella signata* Pant.: Balaton pg. 123, tab. 11, fig. 285.

Long. 39·6 μ ; lat. 25·2 μ ; costae 5 in 10 μ ; striis 16 in 10 μ ; usque ad pseudoraphem percurrentibus, bilateraliter vittis duabus arcuatis interruptis et sic valva per duas plicas notata.

Nezsider Praep. 10, — Coord. $\frac{2}{1}\frac{2}{5}$.

Tab. III. fig. 141, $\frac{7}{1}00$.

133. *Surirella Peisonis* Pant.: Balaton pg. 123, tab. 12, fig. 288.

Long. 128·8 μ ; lat. 90·4 μ ; costae 4 in 10 μ ; striae 16 in 10 μ .

Oka, Nezsider, Sopron Praep. ω , — Coord. $\frac{2}{5}\frac{1}{8}\frac{5}{8}$.

Tab. IV. fig. 186, $\frac{7}{1}00$.

Var. *angustata* Pant. nov. var.

Valvis angustioribus 120 μ longis, 63 μ latis, costis 3 in 10 μ ; striis 10 in 10 μ .

Nezsider Praep. ξ , — Coord. $\frac{2}{7}\frac{6}{6}\frac{2}{6}$.

Tab. IV. fig. 192, $\frac{6}{1}00$.

Var. *subpyriformis* Pant. nov. var. — Synon. var. *pyriformis* Pant.: Balaton pg. 123, tab. 13, fig. 302.

Valvis subpyriformibus 92·4 μ longis 64·8 μ latis, costis 4 in 10 μ ; striis 10 in 10 μ .

Sopron Praep. ω , — Coord. $\frac{2}{5}\frac{2}{1}$.

Tab. III. fig. 188, $\frac{7}{1}00$.

134. *Surirella pyriformis* Pant. nov. spec.

Valvis percharacteristicis, pyriformibus, 78 μ longis, 57 μ latis, cum polo inferiori valde attenuato protracto obtuso, costis 5 in 10 μ ; marginalibus abbreviatis, striis 13 in 10 μ , in areas quatuor dispositis, hic directione perpendiculari percurrentibus.

Nezsider Praep. ξ , — Coord. $\frac{1}{6}\frac{9}{1}\frac{9}{1}$.

Tab. III. fig. 142, $\frac{7}{1}46$.

135. *Surirella splendida* (E.) Kg. — Pant.: Balaton pg. 124, tab. 12, fig. 290, 291.

Long. 147 μ ; lat. 61·5 μ ; costae 1 in 10 μ .

Nezsider Praep. ξ , — Coord. $\frac{2}{7}\frac{3}{5}\frac{9}{5}$.

Tab. IV. fig. 191, $\frac{6}{1}00$.

136. *Surirella striatula* Turp. Mem. 1828; — Kütz.: Bac. pg. 62, tab. 7, fig. 6; — W. Sm: Brit. Diat. I. pg. 32, tab. 9, fig. 74; — A. Schm. Atlas tb. 24, fig. 17—21; — V. H.: Synops. pg. 187,

tab. 72, fig. 5. — Peragallo: Diat. mar. pg. 254, tab. 68, fig. 2, 3; — Navicula? striatula E.: Inf. pg. 187, tab. 21, fig. 15; Mikrg. tab. X., II. fig. 10; Sur. testudo E. Monatsb. 1840. pg. 215, Abh. 1870, tab. II., I. fig. 6.

Long. 132—172 μ ; lat. 75·6—96 μ ; costae 1—1·5 in 10 μ ; striae 7—10 in 10 μ .

Sopron Praep. α , — Coord. $\frac{4}{4} \frac{8}{3}$.

Tab. III. fig. 194, $\frac{4}{1} \frac{5}{2}$.

XXVI. nem. *Campylodiscus* E. 1841.

137. *Campylodiscus Bonapartii* Pant. nov. spec.

Praeclara species, cum valvis discoideis, costatis, costis marginalibus abbreviatis 1—2 in 10 μ , subtiliter punctatis, spaciū intercostale subtiliter striolatum. Area centralis nuda permagna. Diametrum long. 103 μ ; lat. 84 μ .

Similis *Campylodisci Groenlandici* Cleve Diat from the artiic. Sea pg. 13, tab. II., fig. 9, et *Campylodisci radiosoi* Ehrbg.: Unsichtbar wirkende Leben der Nordpolarzone pg. 466, tab. III. fig. 7. — Recedit autem a *C. groenlandico* spatiis intercostalibus semper striolatis, nunquam nudis, et a *C. radiosoi* costis abbreviatis, spatio intercostali striolato, et area nuda dublice majori.

Nezsider Praep. ξ , — Coord. $\frac{2}{9} \frac{6}{1}$.

Tab. VI. fig. 193, $\frac{6}{1} \frac{0}{0}$.

138. *Campylodiscus Peisonis* Pant.: Balaton pg. 130, tab. 14, fig. 312, tab. 15, fig. 314, 316. — Synon. *Campylodiscus bicostatus* Grun. et var. in Verh. 1862. pg. 444, tab. 7, fig. 1—3. V. H. Synops tab. 75, fig. 2; Peragallo: Diat. mar. pg. 237, tab. 51, fig. 4, 5, — non *W. Sm.* Brit. Diat. pg. 88; Roper Trans. 1854. II. tab. 6, fig. 4; Deby: Gen. Campyl. pg. 19, tab. 7, fig. 38 B.

Long. 45·6—55·5 μ ; lat. 45—60 μ ; costae 1—2 in 10 μ ; long. cost. 13·2 μ ; striae 11 in 10 μ .

Nezsider: Praep. ξ , — Coord. $\frac{2}{4} \frac{3}{9} \frac{3}{3}$; Sopron Praep. ω , — Coord. $\frac{2}{5} \frac{0}{8} \frac{3}{2}$.

Tab. III. fig. 166, $\frac{7}{1} \frac{4}{6}$; fig. 167, $\frac{7}{1} \frac{0}{0}$; fig. 168, $\frac{7}{1} \frac{0}{0}$.

139. *Campylodiscus pseudoclypeus* Pant. nov. spec. — Synon. *Campylodiscus bicostatus* Grun. var. *Peisonis* Grun: Verh. 1862. pg. 444, tab. 7, fig. 1. α . — Discus subcircularis,

epphipiforme torquatus, 54 μ altus, 76 μ latus, marginatus, costatus, striolatus. Costis 1—2 in 10 μ , marginalibus, subcuneiformibus, subtiliter punctato striolatis, ad marginem vittis duabus marginalibus notatis, ab imagine centrali vitta lata nuda circulari separatis, imago duplex, semilunaris centralis, a striolis arcuatis transversis punctatis constituta, per aream nudam longitudinalem separata.

Sopron Praep. ω , — Coord. $\frac{17}{8} \frac{9}{1}$.

Tab. IV. fig. 187, $\frac{10}{1} \frac{0}{0}$.

140. *Campylodiscus Clypeus* E. — Pant. Balaton pg. 130, tab. 14, fig. 309.

Altitudo diametri 142.8 μ ; costis 1—2 in 10 μ ; striolis 12—13 in 10 μ .

Sopron Praep. ω , — Coord. $\frac{8}{5} \frac{8}{6}$.

Tab. IV. fig. 190, $\frac{5}{1} \frac{6}{6}$.

Var. *minor* Pant. nov. var.

Altitudo valvae discoideae 96 μ , latitudo 94.5 μ , costis marginalibus 2 in 10 μ ; punctato-striolatis, ab area semilunari nuda interruptis; striolis 8 in 10 μ . Imago centralis, bilateralis, a poris in lineas subarcuato transversas dispositis constituta.

Nezsider Sopron Praep. I. α , — Coord. $\frac{1}{2} \frac{9}{0}$.

Tab. III. fig. 165, — Coord. $\frac{4}{1} \frac{5}{2}$.

Centricae.

XXVII. nem. *Melosira* Agardh. 1824.

141. *Melosira setosa* Grev? V. H. Synops. tab. 86, fig. 16. — Diametrum valvae circulari marginatae, spinosae 13.2 μ ; Nezsider Praep. 10, — Coord. $\frac{2}{2} \frac{8}{9}$.

Tab. III. fig. 169, $\frac{1}{1} \frac{9}{0}$.

142. *Melosira varians* Ag. — Pant. Balaton pg. 131, tab. 15, fig. 315.

Long. frustulae 22.5—28 μ ; diamet. valvae 10.5—11.5 μ .

Nezsider Praep. II. f. — Coord. $\frac{2}{7} \frac{5}{5}$.

XXVIII. nem. *Cyclotella* Kg. 1833.

143. *Cyclotella operculata* Kg. var. *mesoleia* Grun. V. H. Synops. tab. 93, fig. 25.

Diametrum valvae 15 μ ; striolae marginales abbreviatae 12—14 in 10 μ .

Sopron Praep. ω , — Coord. $\frac{27}{7} \cdot \frac{8}{1}$.

Tab. III. fig. 170, $\frac{74}{1} \cdot 0$.

144. *Cyclotella subsalina* Grun. — V. Synops. tab. 92, fig 11.

Diametrum valvae 8·5—10 μ . Altitudo frustulae 7·2 μ .

Sopron Praep. ω . — Coord. $\frac{27}{7} \cdot \frac{3}{2}$.

Tab. IV. fig. 171, 172, $\frac{71}{1} \cdot 0$.

145. *Cyclotella flammea* Pant. nov. spec.

Valvis circularibus, cum margine corona striolarum abbreviatarum ornata, et area centralia striolis flammeis ornata. Diametrum valvae 18 μ , corona striolarum 2·4 μ lata, striolae 8 in 10 μ , — diametrum areae flammeae 8·1 μ .

Sopron Praep. ω , — Coord. $\frac{16}{5} \cdot \frac{9}{1}$.

Tab. IV. fig. 174, $\frac{79}{1} \cdot 0$.

146. *Cyclotella comta* Kg. var. *affinis* Grun. V. H. Synops. tab. 93, fig. 21.

Diametrum valvae 25 μ ; diametrnm areae disseminato punctatae 12 μ ; spinulae marginales 8 in 10 μ ; striolae 9—10 in 10 μ .

Sopron Praep. ω , — Coord. $\frac{27}{7}$.

Tab. IV. fig. 173, $\frac{74}{1} \cdot 6$.

147. *Cyclotella ocellata* Pant. — Balaton pg. 134, tab. 15, fig. 318. — Synon. *Cyclotella cruciata* Pant. l. c. tab. 15, fig. 325.

Diametrum valvae 9—19·8 μ ; striolae 4—8—10 in 10 μ .

Sopron Praep. ω , — Coord. $\frac{22}{6} \cdot \frac{3}{5}$.

Tab. IV. fig. 175—176, $\frac{70}{1} \cdot 0$, 177, $\frac{86}{1} \cdot 6$.

XXIX. nem. *Carnegia* Pant. nov. gen. 1912.

Frustulis pyxiduliformibus elevatis, ad polos convexis, ad medium inflatis, hic poro solitario et duabus excrescentiis sigmoides notatis. Valvis circularibus cum poro marginali solitairo elevato et area circulari vel lageniformi notatis.

148. *Carnegia mirabilis* Pant. nov. spec.

Valvis circularibus, duplice marginatis, ad marginem poro solitario lentiformi et duabus elevationibus inflatis notatis. Centrum valvae nudae anulo circulari notatum. Diametrum

10·5—11·2 μ , — latitudo marginis 0·9 μ , — magnitudo lentis 3·2 μ ; diametrum area 9 μ .

Nezsider Praep. 10, — Coord. $\frac{2}{7} \frac{4}{3}$.

Tab. IV. fig. 178—181, $\frac{6}{1} \frac{3}{7}$.

149. *Carnegia difflugiodes* Pant. nov. spec.

Valvis subellipticis, marginatis, difflugiaeforme inflatis, sic figuram lagenulae immitantes, cum poro marginali solitario elevato exstante et duabus alis curvatis notatis.

Longitudo diametri horizontali 15·6 μ ; longitudo diametri perpendiculari 10·6 μ ; longitudo lagenulae 12 μ ; longitudo colli lagenulae 6 μ ; latitudo marginis 1·8 μ .

Nezsider Praep. 10, — Coord. $\frac{1}{1} \frac{8}{9} \frac{8}{3}$.

Tab. IV fig. 182—184, $\frac{7}{1} \frac{9}{0}$.

Tábla magyarázat.

TABULA I.

| | | | | | |
|---|---------------------------------------|-------------|-------------------|-----|----|
| 1. 2. 3. 4. <i>Amphora commutata</i> Grun. | 700/ ₁ | fig. 3 - 4. | 746/ ₁ | pg. | 13 |
| 5. <i>Amphora perpusilla</i> Grun. | 700/ ₁ | | 13 | | |
| 6. 7. <i>Cymbella aequalis</i> W. Sm. | 700/ ₁ | | 13 | | |
| 8. <i>austriaca</i> Grun. | 732/ ₁ | | 13 | | |
| 9. <i>Cistula Hempr.</i> | 700/ ₁ | | 14 | | |
| 10. <i>hungarica</i> Pant. | 700/ ₁ | | 14 | | |
| 11. <i>lanceolata</i> Hbg. | 700 ₁ | | 14 | | |
| 12. 13. <i>microcephala</i> Grun. | 700/ ₁ | | 14 | | |
| 14. <i>Stauroneis amphicephala</i> Kg. | 600/ ₁ | | 14 | | |
| 15. <i>emorsa</i> n. sp. | 600/ ₁ | | 14 | | |
| 16. <i>salina</i> W. Sm. | 600/ ₁ | | 15 | | |
| 17. <i>Mastogloia Dansei</i> (Thw.) W. Sm. v. <i>elliptica</i> | 700/ ₁ | | 15 | | |
| 18. <i>Dansei</i> (Thw.) W. Sm. | 700/ ₁ | | 15 | | |
| 19. 20. <i>Grevillei</i> W. Sm. | 637/ ₁ – 700/ ₁ | | 15 | | |
| 21. <i>Grevillei</i> W. Sm. var. <i>subconstricta</i> Pant. | 700/ ₁ | | 15 | | |
| 22. <i>Smithii</i> Thw. var. <i>amphicephala</i> Grun. | 637/ ₁ | | 15 | | |
| 23. <i>Smithii</i> Thw. var. <i>conifera</i> Brun. | 637/ ₁ | | 16 | | |
| 24. <i>Navicula viridis</i> (Nitzsch.) Kg. var. <i>parallelestriata</i> Pant. | 700/ ₁ | | 16 | | |
| 25. <i>commutata</i> Grun. | 600/ ₁ | | 16 | | |
| 26. 27. <i>Brebisonii</i> Kg. | 700/ ₁ | | 16 | | |
| 28. <i>mesolepta</i> E. var. <i>stauroneiformis</i> Grun. | 700/ ₁ | | 17 | | |
| 29. <i>appendiculata</i> (Ag.) Kg. var. <i>irrorata</i> Grun. | 700/ ₁ | | 18 | | |
| 30. <i>medioinflata</i> Pant. nov. spec. | 700/ ₁ | | 18 | | |
| 31. <i>ammophila</i> Grun. var. <i>degenerans</i> Grun. | 700/ ₁ | | 18 | | |
| 32. <i>dicephala</i> E. | 746/ ₁ | | 17 | | |
| 33. <i>oblonga</i> Kg. | 700/ ₁ | | 17 | | |
| 34. <i>vulpina</i> Kg. | 866/ ₁ | | 17 | | |
| 35. <i>subradiosa</i> nov. spec. | 600/ ₁ | | 17 | | |
| 36. <i>Meisteri</i> n. s. | 600/ ₁ | | 18 | | |
| 37. <i>Kefwigensis</i> E. | 600/ ₁ | | 18 | | |
| 38. <i>slesvicensis</i> Grun. | 746/ ₁ | | 19 | | |
| 39. <i>gracilis</i> E. | 700/ ₁ | | 19 | | |
| 40. <i>pumila</i> Grun. | 746/ ₁ | | 19 | | |

A Fertő tó kovamoszat viránya 1912. évben.

45

| | | | | | |
|---------|----------|------------------------------------|-------------------|-----|----|
| 41. | Navicula | amphiceros Kg. | 700/ ₁ | pg. | 19 |
| 42. | | salinarum Grun. | 572/ ₁ | | 19 |
| 43. | | anglica Ralfs. var. subsalsa Grun. | 700/ ₁ | | 19 |
| 44. | | ovalis (Hils.) A. Schm. | 746/ ₁ | | 20 |
| 45. | | minutula W. Sm. | 566/ ₁ | | 20 |
| 46. | | nezsideriana n. sp. | 746/ ₁ | | 20 |
| 47. | | permagna (Bail.) Ed. | 600/ ₁ | | 20 |
| 48. | | Fenzlii Grun. | 600/ ₁ | | 20 |
| 49. | | amphisbaena Bory | 746/ ₁ | | 20 |
| 50. | | biceps E. | 746/ ₁ | | 21 |
| 51. | | sculpta E. | 700/ ₁ | | 21 |
| 52. 55. | | sculpta var. delicata Perag. | 746/ ₁ | | 21 |
| 53. | | sculpta var. protracta Pant. | 700/ ₁ | | 21 |
| 54. | | sculpta var. rostrata Pant. | 600/ ₁ | | 21 |
| 56. | | polyramma (E.) Pant. | 566/ ₁ | | 21 |
| 57. | | pannonica Grun. | 700/ ₁ | | 22 |
| 58. | | silicula E. | 700/ ₁ | | 22 |
| 59. | | silicula E. var. diminuta Pant. | 700/ ₁ | | 22 |

TABULA II.

| | | | | | |
|---------|--------------|---|-------------------|-----|----|
| 60. | Pleurosigma | attenutatum (Kg.) W. Sm. | 600/ ₁ | pg. | 25 |
| 61. | Navicula | nobilis (E.) Kg. | 566/ ₁ | | 16 |
| 62. | > | fasciata Lagerst. | 700/ ₁ | | 22 |
| 63. | | var. inflata Pant. n. v. | 746/ ₁ | | 22 |
| 64. | | fontinalis Grun. | 700/ ₁ | | 23 |
| 65. | | cuspidata Kg. | 700/ ₁ | | 23 |
| 66. | | Elsae Thum Pant. forma craticularis Pant. | 600/ ₁ | | 23 |
| 67. | | Ferdinandi Koburg Pant. nov. spec. | 700/ ₁ | | 23 |
| 68. | | bisulcata Lagerst. | 600/ ₁ | | 24 |
| 69. | | Kozlowii (Mereschk.) Pant. | 700/ ₁ | | 24 |
| 70. | Schizonema | nebulosum Mengh. | 637/ ₁ | | 24 |
| 71. | Frustulia | vulgaris (Thw.) Cleve | 700/ ₁ | | 24 |
| 72. 73. | Scoliopleura | Peisonis Grun. | 600/ ₁ | | 24 |
| 74. | > > | var. producta Pant. | 600/ ₁ | | 24 |
| 75. | Pleurosigma | Peisonis Grun. | 700/ ₁ | | 25 |
| 76. | 77. 78. | Rhoicosphenia curvata Grun. | 700/ ₁ | | 25 |
| 79. | Gomphonema | constrictum E. | 707/ ₁ | | 26 |
| 80. | > | Peisonis nov. spec. Pant. | 700/ ₁ | | 26 |
| 81. 82. | Amphiprora | Pokornyan Grun. | 600/ ₁ | | 25 |
| 83. | Cocconeis | nuda Pant. nov. spec. | 700/ ₁ | | 27 |
| 84. | | Pediculus E. | 700/ ₁ | | 27 |
| 85. 86. | » | placentula E. | 746/ ₁ | | 27 |
| 87. 88. | Achnathes | subsessilis Kg. | 746/ ₁ | | 27 |
| 89. | Epithemia | Hyndmani W. Sm. | 600/ ₁ | | 27 |

| | | | | |
|---|---|-------------------|-----|----|
| 90. <i>Rhopalodia gibberula</i> (E.) O. M. | . | 637/ ₁ | pg. | 30 |
| 91. " " var. <i>Van Heurckii</i> O. M. | | 732/ ₁ | " | 30 |
| 92. 93. <i>Epithemia Argus</i> (E.) Kg. | | 746/ ₁ | | 28 |
| 94. " " (E.) var. <i>amphicephala</i> Grun. | | 700/ ₁ | | 28 |
| 95. " (E.) var. <i>turgida</i> Pant. | | 636/ ₁ | | 28 |
| 96. <i>proboscidea</i> Kg. | | 600/ ₁ | | 28 |
| 97. " <i>Zebra</i> (E.) Kg. | | 700/ ₁ | | 28 |
| 98. <i>Rhopalodia linearis</i> Pant. | | 637/ ₁ | | 29 |
| 99. <i>Epithemia crassa</i> Pant. n. s. | | 700/ ₁ | | 29 |
| 100. <i>Rhopalodia ventricosa</i> (Kg.) O. M. | | 700/ ₁ | | 29 |
| 101. " <i>gibba</i> (E.) O. M. var. <i>directa</i> Pant. | | 637/ ₁ | | 29 |
| 102. <i>Peisonis</i> Pant. nov. spec. | | 572/ ₁ | | 29 |
| 103. " <i>gibberula</i> (E.) O. M. var. <i>incisa</i> Pant. | | 700/ ₁ | | 30 |
| 104. <i>Synedra longissima</i> W. Sm. | | 700/ ₁ | | 30 |
| 105. " <i>salina</i> W. Sm. | | 700/ ₁ | | 30 |
| 106. " <i>affinis</i> Kg. var. <i>gracilis</i> Grun. | | 600/ ₁ | | 31 |
| 107. 108. <i>Synedra Smithii</i> Ralfs | | 600/ ₁ | | 31 |
| 109. " <i>pulchella</i> Kg. | | 700/ ₁ | | 31 |
| 110. " " var. <i>subcapitata</i> Pant. | | 637/ ₁ | | 31 |
| 111. " " var. <i>capitata</i> Pant. | | 700/ ₁ | | 31 |
| 112. <i>Fragilaria subsalina</i> Grun. | | 637/ ₁ | | 31 |
| 113. " <i>inflata</i> Pant. | | 700/ ₁ | | 32 |
| 114 – 115. " <i>rostrata</i> Pant. n. s. | | 700/ ₁ | | 32 |
| 116. <i>Nitzschia spectabilis</i> (E.) Ralfs. | | 600/ ₁ | | 35 |
| 116/a. <i>Diatoma tenue</i> Ag. | | 700/ ₁ | | 32 |
| 117. <i>Nitzscha Peisonis</i> Pant. n. sp. | | 746/ ₁ | | 36 |
| 118. " " var. <i>torquata</i> Pant. | | 700/ ₁ | | 36 |
| 119. <i>Grunowia obtusa</i> (Kg.) Pant. | | 700/ ₁ | | 33 |
| 120. <i>Tryblionella salinarum</i> Grun. | | 600/ ₁ | | 32 |
| 121. <i>Nitzschia paradoxa</i> (Gmel.) Grun. . | | 600/ ₁ | | 34 |
| 122. " <i>dubia</i> W. Sm. | | 700/ ₁ | | 34 |
| 123. " <i>commutata</i> Grun. | | 700/ ₁ | | 34 |
| 124. " <i>fasciculata</i> Grun. | | 637/ ₁ | | 35 |

TABULA III.

| | | | | |
|--|--|-------------------|--|----|
| 125. <i>Tryblionella Peisonis</i> Pant. n. sp. | | 700/ ₁ | | 32 |
| 126. <i>Hantzschia virgata</i> (Rop.) Grun. | | 600/ ₁ | | 33 |
| 127. <i>Nitzschia Zahlbrücknerii</i> Pant. nov. sp. | | 700/ ₁ | | 36 |
| 128. " <i>obtusa</i> W. Sm. | | 746/ ₁ | | 35 |
| 129. " <i>Heufleriana</i> Grun. var. <i>elongata</i> Pant. | | 600/ ₁ | | 36 |
| 130. " <i>socialis</i> Greg. | | 700/ ₁ | | 34 |
| 131. " <i>Lóczyana</i> Pant. | | 746/ ₁ | | 35 |
| 132. " <i>amphibia</i> Grun. | | 746/ ₁ | | 37 |
| 133. <i>Nitzschia hungarica</i> Grun. | | 700/ ₁ | | 33 |
| 134. " <i>subtilis</i> (Kg.) Grun. | | 600/ ₁ | | 37 |

A Fertő tó kovamoszat viránya 1912. évben.

47

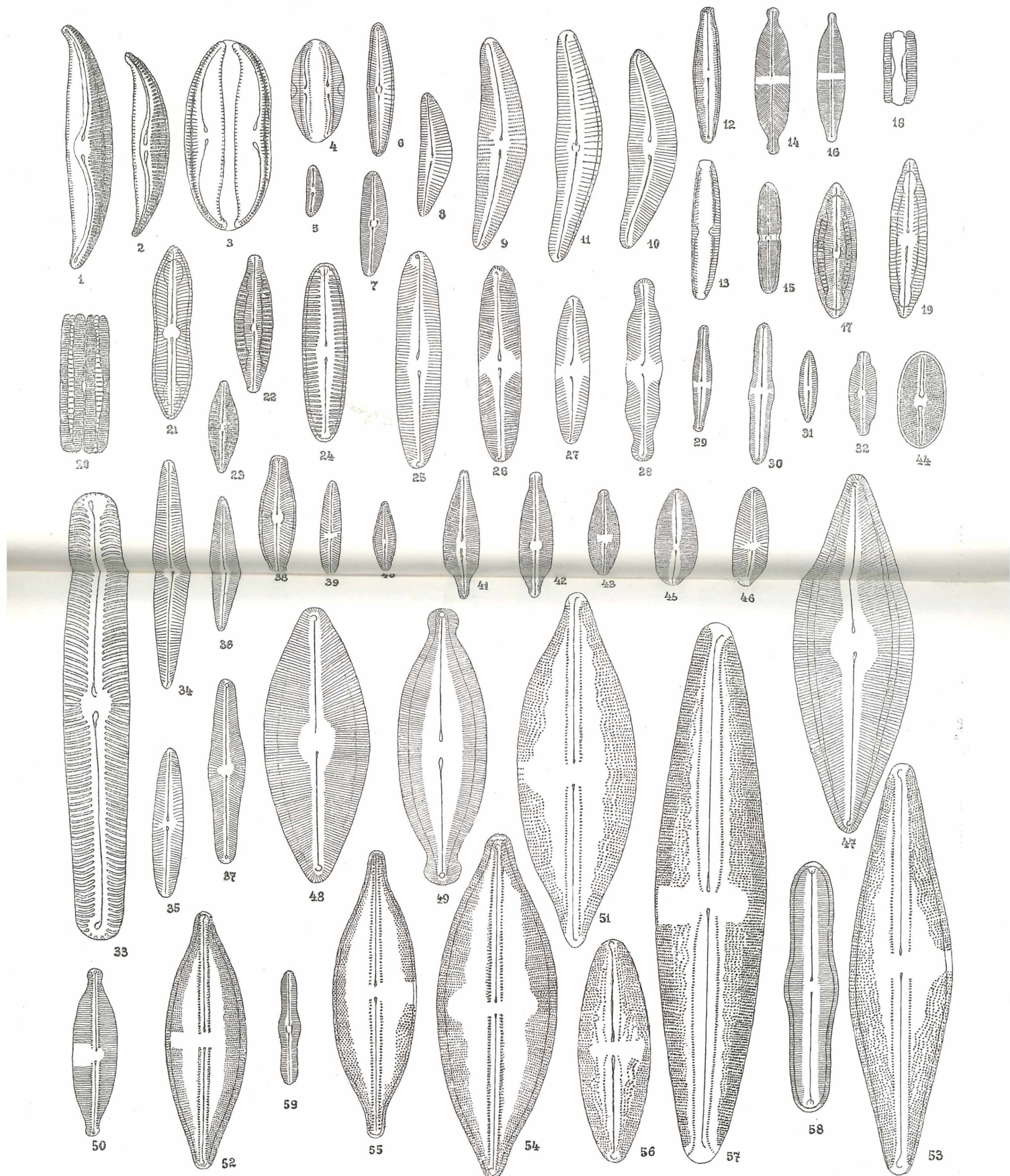
| | | | | |
|----------|---|-------------------|-----|----|
| 135. | Nitzschia fonticola Grun. | 700 ₁ | pg. | 37 |
| 136. | 138. > vitrea Norm. var. salinarum. Grun | 566 ₁ | * | 37 |
| 137. | > vivax W. Sm. | 452 ₁ | | 34 |
| 139. | Hantzschia amphioxys (E.) W. Sm. | 566 ₁ | | 32 |
| 140. | Grunowia sinuata (Gr.) Pant. | 566 ₁ | | 33 |
| 141. | Surirella signata Pant. | 700 ₁ | | 38 |
| 142. | pyriformis Pant. n. s | 746 ₁ | | 39 |
| 143. | ovalis Breb. var. hungarica Pant. | 600 ₁ | | 38 |
| 144. | > subovata Pant. n. sp. | 700 ₁ | | 38 |
| 145. | Nitzschia Oestrupii Pant. n. sp | 566 ₁ | | 36 |
| 146. | Meisteri Pant. n. sp. | 566 ₁ | | 36 |
| 147. | Grunowia obtusa var. elongata Pant. | 566 ₁ | | 33 |
| 148. | > obtusa (Kg.) Pant. | 56 ₁ | | 33 |
| 149. | Navicula ambigua E. | 566 ₁ | | 23 |
| 150. | > sphærophora Kg. | 566 ₁ | | 21 |
| 151. | > subfasciata Pant. n. sp. | 566 ₁ | | 22 |
| 152. | Stauroneis obtusa Lagerst. | 566 ₁ | | 14 |
| 153. | Epithemia subpanduraeformis Pant. n. sp. | 566 ₁ | | 29 |
| 154. | Navicula dubia E. | 566 ₁ | | 23 |
| 155. | > biceps E. . | 566 ₁ | | 21 |
| 156. | avenacea Breb. | 566 ₁ | | 17 |
| 157. | > Cari E. | 566 ₁ | | 18 |
| 158. | Gomphonema obtusatum (Kg.) Grun. | 566 ₁ | | 26 |
| 159. | > pachycladum Breb. | 566 ₁ | | 26 |
| 160. | gracile E. forma parva Grun. | 566 ₁ | | 26 |
| 161. | Surirella angusta Kg. | 700 ₁ | | 38 |
| 162. | > salina W. Sm. | 746 ₁ | | 37 |
| 163. | > var. apiculata Pant. nov. var.. | 600 ₁ | | 38 |
| 164. | > var. angustata Pant. nov. var. | 600 ₁ | | 38 |
| 165. | Campylodiscus Clypeus E. var. minor Pant. | 450 ₁ | | 41 |
| 166—168. | > Peisonis Pant. | 700 ₁ | | 40 |
| 169. | Melosira setosa Grev ? | 700 ₁ | | 41 |
| 170. | Cyclotella operculata Kg. var. mesoleia Grun. | 700 ₁ | | 41 |
| 171—172. | > subsalina Grun. | 700 ₁ | | 42 |
| 173. | comta Kg. var. affinis Grun. | 746 ₁ | | 42 |
| 174. | > flammea Pant. n. sp. | 700 ₁ | | 42 |
| 175—177. | > ocellata Pant. | 700 ₁ | | 42 |
| 178—181. | Carnegia mirabilis Pant. n. genus et spec. | 637 ₁ | | 43 |
| 182—184. | > difflugiodes Pant. n. sp. | 700 ₁ | | 43 |
| 185. | Nitzschia spectabilis (E.) Ralfs | 1450 ₁ | | 35 |

TABULA IV.

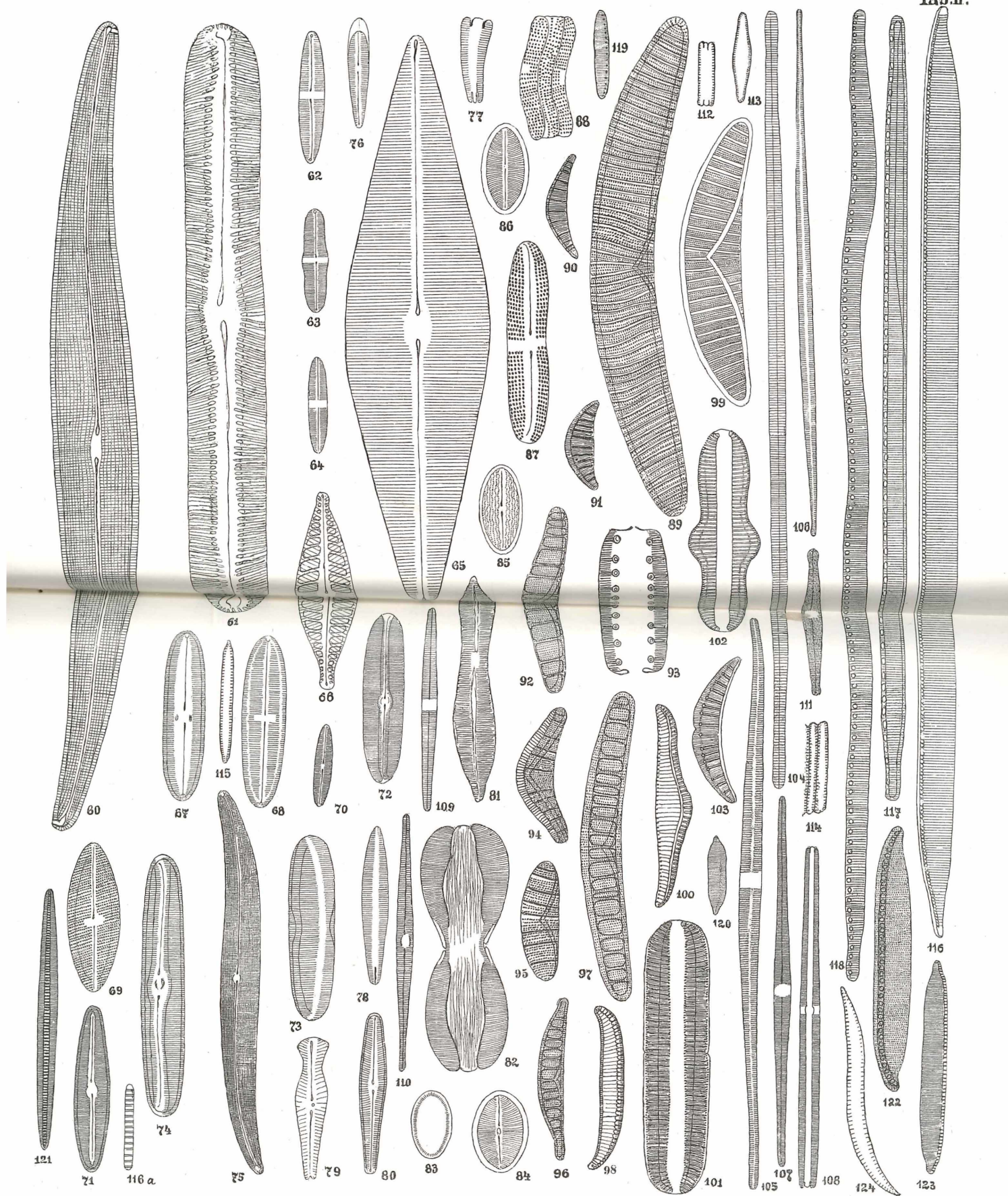
| | | | | |
|--|---|------------------|-----|----|
| 186. <i>Surirella Peisonis</i> Pant. | . | 700 ₁ | pg. | 39 |
| 187. <i>Campylodiscus pseudoclypeus</i> Pant. nov. spec. | | 700 ₁ | > | 40 |
| 188. <i>Surirella Peisonis</i> Pant. var. <i>subpyriformis</i> Pant. | | 700 ₁ | | 39 |

| | | | |
|--|-------|-----|----|
| 189. <i>Cymatopleura constricta</i> Meister | 566/1 | pg. | 37 |
| 190. <i>Campylodiscus Clypeus</i> E. | 566/1 | " | 41 |
| 191. <i>Surirella splendida</i> (E.) Kg. | 600/1 | | 39 |
| 192. " <i>Peisonis</i> Pant. var. <i>angustata</i> Pant. nov. var. | 600/1 | | 39 |
| 193. <i>Campylodiscus Bonapartii</i> Pant. n. spec. | 600/1 | | 40 |
| 194. <i>Surirella striatula</i> Turp. | 452/1 | | 39 |
| 195. <i>Navicula silicula</i> E. | 566/1 | | 22 |
| 196. " <i>Kefwingensis</i> (E.) Kg. | 566/1 | | 18 |
| 197. <i>Gomphonema Vibrio</i> E. | 566/1 | | 26 |
| 198—199. <i>Mastogloia angustata</i> Pant. nov. spec. | 566/1 | | 16 |

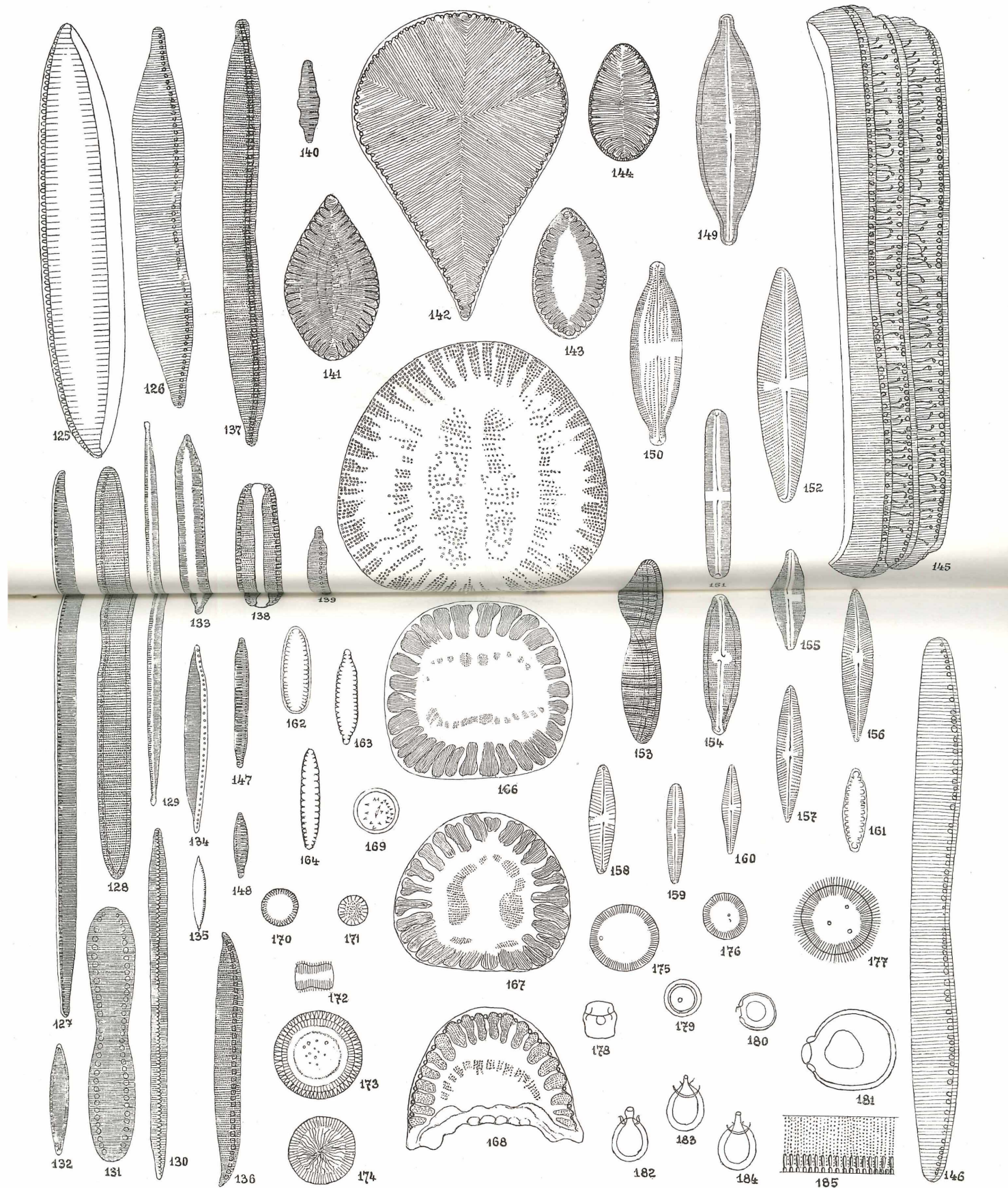
Tab.I.



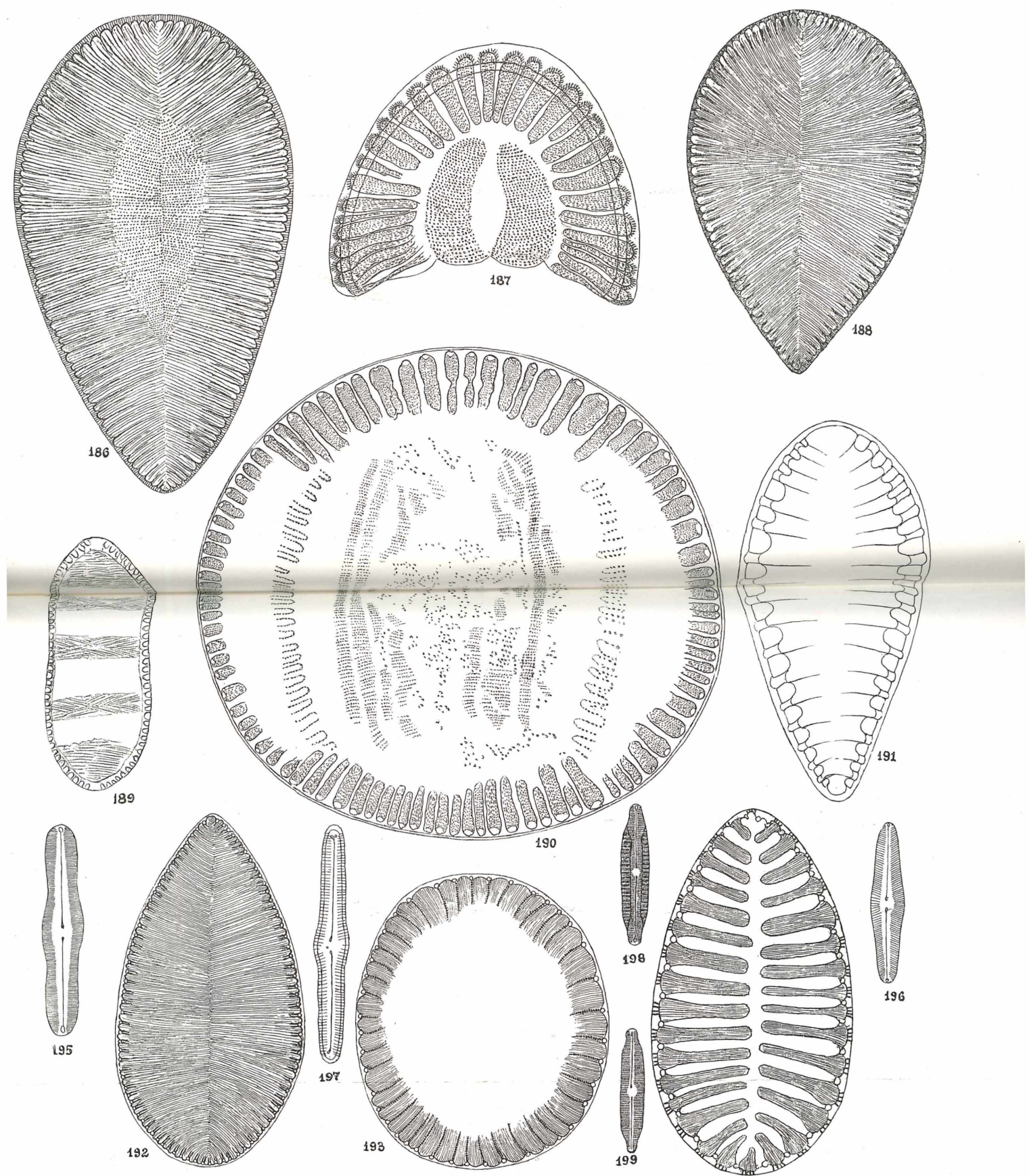
Tab.II.



Tab. III



Tab. IV.



ZOBODAT - www.zobodat.at

Zoologisch-Botanische Datenbank/Zoological-Botanical Database

Digitale Literatur/Digital Literature

Zeitschrift/Journal: [Verhandlungen des Vereine für Naturkunde zu Presburg](#)

Jahr/Year: 1912

Band/Volume: [NF_22](#)

Autor(en)/Author(s): Pantocsek Jozef

Artikel/Article: [A Ferto to kovamoszat viranya 1912. Avben 3-48](#)